

## الفصل الخامس: مقاومة القص للتربة

#### 5. 1 مقدمة

يتعلق أمان أية منشأة جيوتكنيكية بمتانة التربة على القص. إذا فقدت التربة متانتها على القص فإن المنشأة المقامة عليها سوف تخضع لتشوهات كبيرة مسببة الكثير من الأضرار لهذه المنشأة. يستخدم مصطلح المتانة للتعبير عن مقاومة القص, وهي ضرورية لتحديد قدرة تحمل التربة ولدراسة توازن المنحدرات ولدراسة الاجهادات والتشوهات في التربة.

الواحدة	الرمز	المصطلح العلمي باللغة الانكليزية	المصطلح العلمي باللغة العربية
		Loose Sand	الرمل المخلخل
		Dense Sand	الرمل المتراص
		Normally Consolidated Clay	الغضار المشدد طبيعياً
		Oveconsolidated Clay	الغضار مسبق التشديد
kN/m <sup>2</sup>	τ	Shear Stress	اجهاد القص
	γ	Shear Deformation	تشوه القص
kN/m <sup>2</sup>	$ au_{\mathrm{cs}}$	Critical State shear stress	اجهاد القص الحدي
kN/m <sup>2</sup>	$\tau_{\mathrm{p}}$	Peak shear stress	ذروة اجهاد القص
Degree	φ'cs	Critical State Effective Friction	زاوية الاحتكاك الداخلي الفعالة
(or Radian)		Angle	الحدية
Degree	ф'р	Deals Effective Existing Anala	زاوية الاحتكاك الداخلي الفعالة
(or Radian)		Peak Effective Friction Angle	العظمى
Degree (or Radian)	$\alpha_{\mathrm{p}}$	Dilation angle	زاوية التوسع الحجمي
		Dilating Soils	الترب ذات التوسع الحجمي
		Coulom's Failure Envelope	مغلف كولومب للانهيار
kN/m <sup>2</sup>	$\sigma_1$	Major Principal Stress	الاجهاد الرئيسي الأعظمي
kN/m <sup>2</sup>	σ3	Minor Principal Stress	الاجهاد الرئيسي الأصغري
		Mohr's Circle at Failure	دائرة مور عند الانهيار
		Plane of Failure	مستوي الانهيار
		Drined Loading	التحميل المصرف
		Undrained Loading	التحميل غير المصرف
kN/m <sup>2</sup>	C'	Efective Cohesion	التماسك المصرف



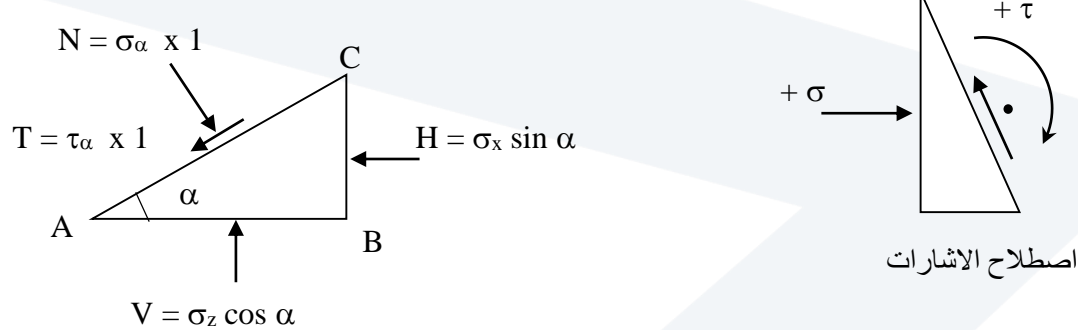
kN/m <sup>2</sup>	σ3	Total Radial Stress	الاجهاد الجانبي الكلي
kN/m <sup>2</sup>	σ'3	Effective Radial Stress	الاجهاد الجانبي الفعال
kN/m <sup>2</sup>	σ1	Total Axial Sress	الاجهاد المحوري (الشاقولي) الكلي
kN/m <sup>2</sup>	σ'1	Effective Axial Stress	الاجهاد المحوري (الشاقولي) الفعال
		Simple Shear Test	تجربة القص البسيط
		Shear Box Test	تجربة القص المباشر
	UC Unconfined Compression Te		تجربة الضغط الحر
		Triaxial Test	تجربة الضغط ثلاثي المحاور
	CD	Consolidated Drained Triaxial Test	تجربة الضغط ثلاثي المحاور
		(CD)	المشددة المصرفة
	CU	Consolidated Undrained Triaxial	تجربة الضغط ثلاثي المحاور
		Test (CU)	المشددة وغير المصرفة
	UU	Unconsolidated Undrained Triaxial	تجربة الضغط ثلاثي المحاور غير
		Test (UU)	المشددة وغير المصرفة
		Drained Shear Streingth Paremeters	بارامترات مقاومة القص المصرفة
		Undrained Shear Streingth	بارامترات مقاومة القص غير
		Paremeters	المصرفة
kN/m <sup>2</sup>	Su=Cu	Undrained Shear Streingth	مقاومة القص غير
		Charamed bhear buenigur	المصرفة=التماسك غير المصرف

### 5. 2 دائرة مور للإجهادات

سنحتاج في دراسة القص إلى معرفة مستويات الاجهادات الرئيسية والاجهادات ضمنها، بالاضافة إلى معرفة حالة الاجهادات في مستوي الانهيار ويمكن الوصول إلى هذا الهدف باستخدام مفهوم دوائر مور، ويتطلب ذلك معرفة الاجهادات الناظمية والمماسية بالنسبة لثلاثة مستويات متعامدة.

سنهتم هنا بحالة الاجهادات ثنائية البعد بدلاً من الاجهادات ثلاثية البعد. وسنهتم بشكل خاص بالمستوي الذي يحتوي على الاجهادات الاجهادين الرئيسيين الأعظمي  $\sigma_1$  والأصغري  $\sigma_2$ . سوف نفترض أن القوى واجهادات الضغط موجبة وذلك لأن الاجهادات التي نصادفها في الجيوتكنيك تكون عادة ضاغطة. ينتج عن هذا الاصطلاح أن إجهادات القص الموجبة تسبب مزدوجات تؤثر على عنصر التربة في اتجاه معاكس لاتجاه عقارب الساعة، أو بمعنى آخر, تسبب اجهادات القص الموجبة مزدوجات تؤثر باتجاه عقارب الساعة بالنسبة إلى نقطة واقعة خارج العنصر, كما هو مبين بالزاوية اليمنى من الشكل  $\sigma_1$ . هذا الاصطلاح معاكس تماماً للاصطلاح المستخدم في ميكانيك الانشاءات.

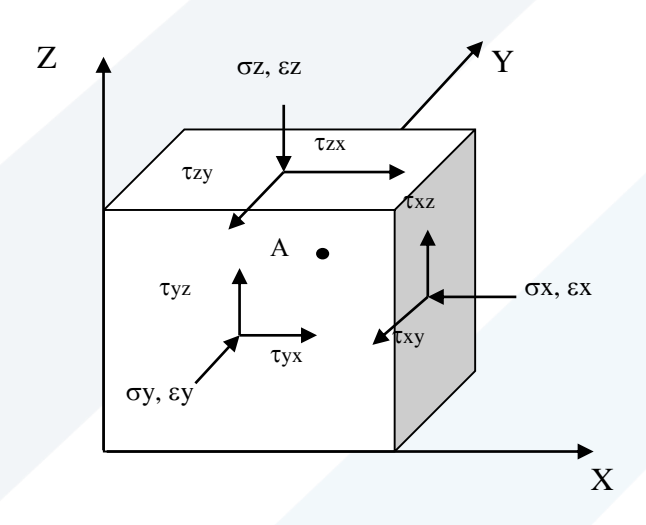




الشكل 1-5: القوى المؤثرة على عنصر ترية واصطلاح الإشارات

إن معرفة مطال واتجاه الاجهادين الرئيسيين  $\sigma_1$  و  $\sigma_3$  يسمح بمعرفة الاجهاد الناظمي  $\sigma_4$  والاجهاد المماس  $\sigma_5$  والاجهاد المماس  $\sigma_6$  المؤثرين على أي مستوي كما يسمح بتحديد مطال واتجاه الاجهادات الرئيسية.

لنعتبر عنصراً مكعباً من التربة (عينة تربة), خاضعاً للاجهادات المبينة بالشكل 2-5 ونرغب بمعرفة حالة الاجهادات في النقطة A ضمن المكعب.



الشكل 2-5: مركبات الاجهادات الناظمية والمماسية

في البداية نفرض أن الإجهادات المؤثرة على المكعب هي اجهادات رئيسية ( $\sigma_x = \sigma_3$ ,  $\sigma_z = \sigma_1$ ,  $\tau_{zx} = 0$ ), وأن طول المسافة AC في الشكل 1-5 واحدية, وأن هذا الشكل له سماكة واحدية في الاتجاه العمودي على المستوي XZ. يكون إذاً طول المستوي الشاقولي AC هو AC وطول المستوي الأفقي AC هو AC المستوي الشاقولي AC هو AC وطول المستوي الأفقى AC هو المستوي الشاقولي AC هو المستوي الأفقى AC وطول المستوي الأفقى AC واحديث وأن هذا المستوي المستوي المستوي الشاقولي وأن هذا المستوي ال

في حالة التوازن, يكون مجموع القوى في أي اتجاه مساوياً للصفر. إذا أخذنا مجموع القوى المؤثرة في الاتجاهين الأفقي والشاقولي , كل على حدى, يكون لدينا:

$$\Sigma F_h = -H - T\cos\alpha + N\sin\alpha = 0 \qquad (5-1)$$

$$\Sigma F_z = V - T \sin \alpha - N \cos \alpha = 0 \tag{5-2}$$



بتقسيم كل قوة على المساحة التي تؤثر عليها نحصل على الاجهادات الناظمية والمماسية (نرمز للاجهادات الناظمية الأفقية  $\sigma_x$  ب  $\sigma_z$  والمماسية ب  $\sigma_z$  والمماسية ب  $\sigma_z$  على مستوي مائل بزاوية  $\sigma_z$  ب  $\sigma_z$  والمماسية ب  $\sigma_z$  . بكتابة القوى في المعادلتين  $\sigma_z$  و  $\sigma_z$  بدلالة الاجهادات نحصل على:

$$\sigma_x \sin \alpha + \tau_\alpha \cos \alpha - \sigma_\alpha \sin \alpha = 0 \tag{5-3}$$

$$\sigma_z \cos \alpha - \tau_\alpha \sin \alpha - \sigma_\alpha \cos \alpha = 0 \qquad (5 - 4)$$

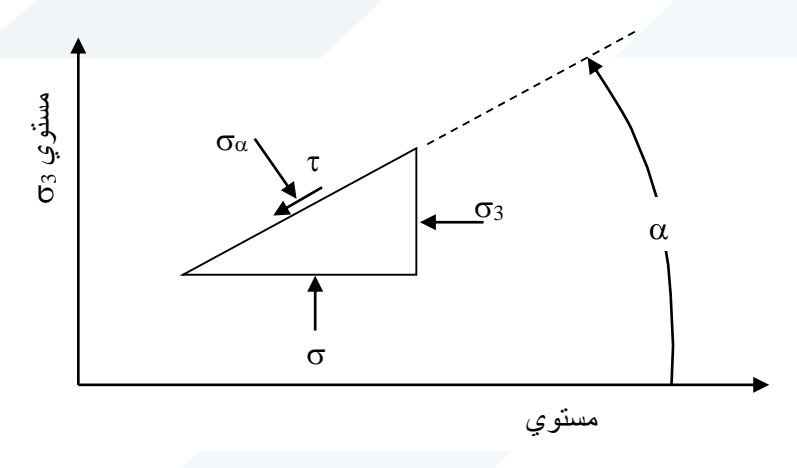
بإعادة ترتيب هاتين المعاداتين نحصل على الاجهاد الناظمي  $\sigma_{\alpha}$  والاجهاد المماسي على مستوي يصنع زاوية  $\alpha$  مع مستوي الاجهاد الرئيسي الأعظمي (الشكل  $\alpha$  ). تعطى هذه الاجهادات بالعلاقات :

$$\sigma_{\alpha} = \sigma_x \sin^2 \alpha + \sigma_z \cos^2 \alpha = \frac{\sigma_x + \sigma_z}{2} + \frac{\sigma_z - \sigma_x}{2} \cos 2\alpha$$

$$\sigma_{\alpha} = \frac{\sigma_1 + \sigma_3}{2} + \frac{\sigma_1 - \sigma_3}{2} \cos 2\alpha \tag{5-5}$$

$$\tau_{\alpha} = (\sigma_x - \sigma_z)\sin\alpha\cos\alpha = \frac{\sigma_z - \sigma_x}{2}\sin2\alpha = \frac{\sigma_1 - \sigma_3}{2}\sin2\alpha \tag{5-6}$$

ننوه إلى أن الزاوية  $\alpha$  في العلاقات السابقة تعتبر موجبة باتجاه معاكس لاتجاه دوران عقارب الساعة, وتقاس اعتباراً من مستوي الأجهاد الرئيسي الأعظمي (الشكل 5-3).



الشكل 3-5 : الاجهادات الناظمية والمماسية في مستوي يميل بزاوية  $\alpha$  عن مستوي الاجهاد الرئيسي الأعظمي

إذا كانت الاجهادات المؤثرة على المكعب ليست رئيسية (الشكل 4-5), فإن هذه الاجهادات ترتبط بالاجهادات الرئيسية بالعلاقات التالية :

$$\sigma_1 = \frac{\sigma_z + \sigma_x}{2} + \sqrt{\left(\frac{\sigma_z - \sigma_x}{2}\right)^2 + \tau^2_{zx}}$$
 (5-7)

$$\sigma_3 = \frac{\sigma_z + \sigma_x}{2} - \sqrt{\left(\frac{\sigma_z - \sigma_x}{2}\right)^2 + \tau_{zx}^2}$$
 (5-8)



كما تعطى الأجهادات على مستوى يصنع زاوبة  $\alpha$  مع المستوى الأفقى بالعلاقات:

$$\sigma_{\alpha} = \frac{\sigma_x + \sigma_z}{2} + \frac{\sigma_x - \sigma_z}{2} \cos 2\alpha + \tau_{zx} \sin 2\alpha \tag{5-9}$$

$$\tau_{\alpha} = \frac{\sigma_x - \sigma_z}{2} \sin 2\alpha + \tau_{zx} \cos 2\alpha \tag{5-10}$$

يمكن تحديد

يكون الاجهاد المماسي أعظمياً على المستويات التي تميل بزواية  $\alpha=\pm45^{\circ}$  , ويعطى هذا الاجهاد بالعلاقة :

$$\tau_{\text{max}} = \frac{\sigma_1 - \sigma_3}{2} \tag{5-11}$$

من العلاقة 11–5 يمكن تحديد الزاوية  $\Psi$  بين مستوي الأجهاد الرئيسي الأعظمي ( $\sigma_1$ ) والمستوي الأفقي (الشكل4–5) وذلك بتعويض  $\tau_{\alpha}=0$  في هذه العلاقة، فنحصل على :

$$Tan 2\Psi = \frac{2\tau_{zx}}{\sigma_z - \sigma_x}$$
 (5-12)

هناك طريقة تخطيطية أكثر سهولة من الطريقة التحليلية, تدعى طريقة القطب للاجهادات. يرتكز الحل بهذه الطريقة على نقطة وحيدة تدعى "القطب" أو مركز المستويات. هذه النقطة مفيدة جداً وذلك لأن أي مستقيم مار من القطب يقطع دائرة مور في نقطة تمثل حالة الاجهادات  $(\sigma,\tau)$  على مستوي ميله مساو لميل هذا المستقيم. نلخص الحل بهذه الطريقة كما يلى:

A يتم تمثيل الأجهادات على وجهي العنصر المتعامدين (النقطتين A و B على الشكل A-5), حيث يستخدم المحور الأفقى للأجهاد الناظمي والمحور الشاقولي للأجهاد المماسي.

-2 يتم وصل النقطتين A و B بمستقيم فيكون AB هو قطر الدائرة ويساوي  $(\sigma_1-\sigma_3)$ , فيقطع المحور الأفقي بالنقطة Oالتي تمثل مركز دائرة مور , وتكون احداثياته O1 ( $\sigma_1+\sigma_3$ 1) .

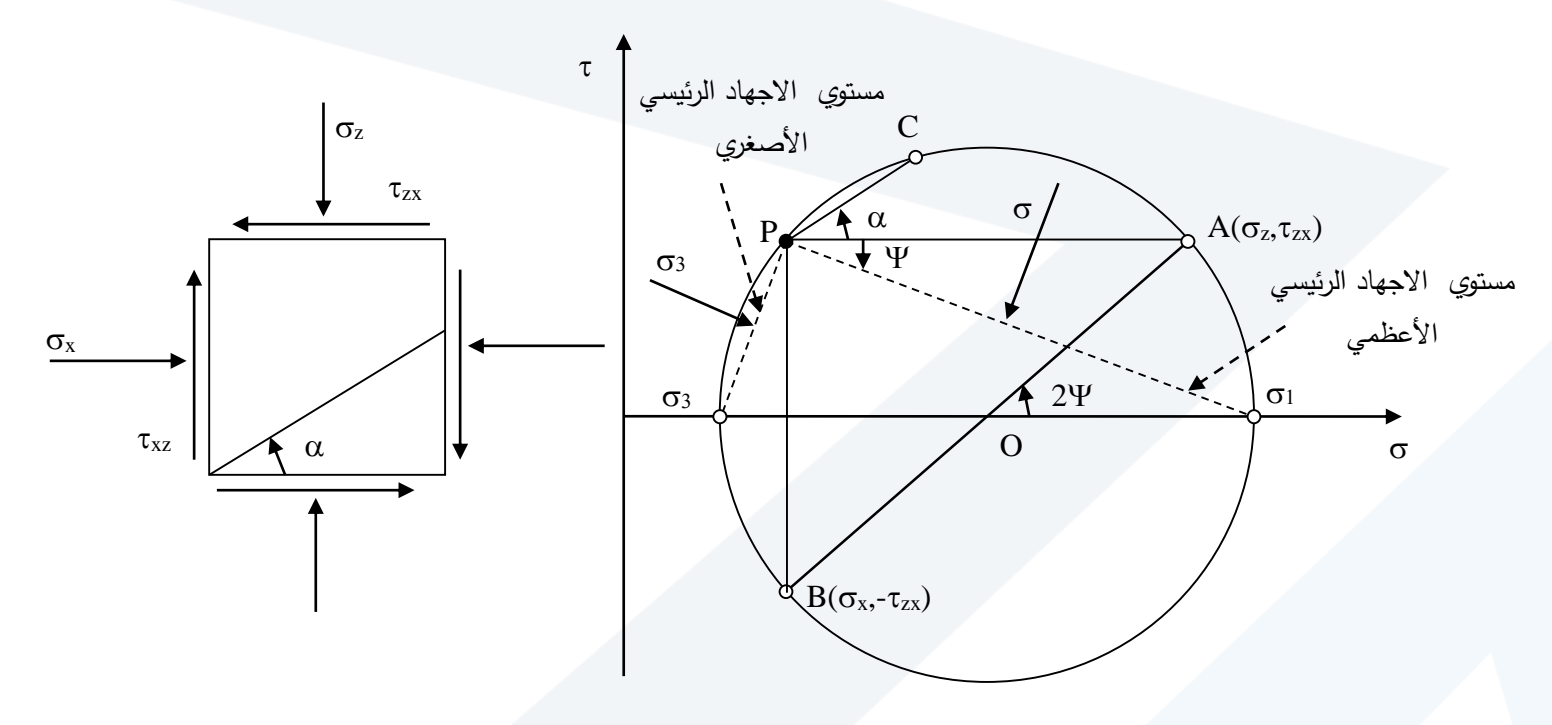
 $\sigma$  يتم رسم داثرة مركزها النقطة  $\sigma$  وقطرها الضلع AB فتقطع محور الاجهاد  $\sigma$  بنقطتين تمثلان الاجهادان الرئيسيان الأعظمى والأصغري  $\sigma_1$  و  $\sigma_3$  بالترتيب.

A يتم تحديد القطب P, ويتم ذلك برسم مستقيم مار من النقطة A موازياً للمستوي الذي تؤثر عليه اجهادات النقطة P فيتقاطع مع محيط الدائرة بنقطة P تدعى القطب.

. يتم وصل القطب بالنقطتين  $\sigma_{1}$  و  $\sigma_{3}$  فنحصل على مستوبي الاجهادين الرئيسيين  $\sigma_{5}$ 

6- يرسم من القطب مستقيماً موازياً للمستوي الذي نرغب بحساب الاجهادات عليه فتقطع دائرة مور بنقطة C فتكون الحداثياتها تمثل الاجهادات على المستوى المطلوب.





الشكل 4-5: طريقة القطب للاجهادات

### 5. 3 سلوك الترب تحت تأثير القوى القاصة

من أجل فهم سلوك التربة تحت تأثير الإجهادات القاصة، نأخذ عينتين من نفس التربة، الأولى مقاومتها منخفضة (رمل مخلخل أو غضار مسبق التشديد) ونجري عليهما تجربة القص البسيط، حيث تعرض العينتين لإجهاد ناظمي شاقولي ثابت ولإجهاد قاص متزايد حتى الانهيار. يبين الشكل 5-5 نتائج التجربة على العينتين المذكورتين على شكل منحنيين: منحني الإجهاد القاص بدلالة تشوه القص (الشكل 5-5 نتائج التجربة على التشوه الحجمي (يساوي التشوه الشاقولي في هذه الحالة لأن التشوهات الجانبية في التجربة مساوية للصفر) بدلالة تشوه القص (الشكل 5-5). يمكن تلخيص النتائج بالتالي:

## 1 عينة التربة ذات المقاومة المنخفضة:

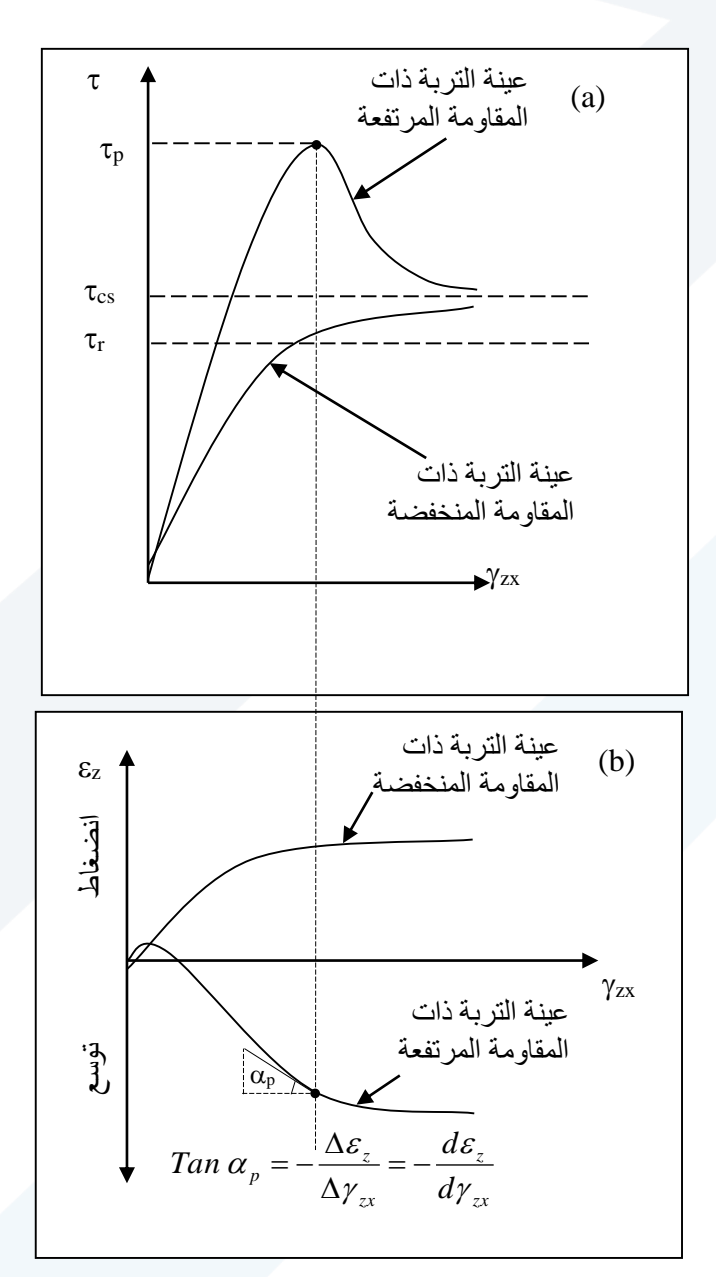
- أ يتزايد اجهاد القص بشكل تدريجي مع زيادة تشوه القص حتى قيمة ثابتة تقريباً لإجهاد القص تدعى باجهاد القص الحدي τ<sub>cs</sub>.
  - $\epsilon_{\rm Z}$  ب يتزايد انضغاط التربة مع زيادة التشوهات القاصة حتى قيمة ثابتة تقريباً للتشوه الشاقولي

## 2- عينة التربة ذات المقاومة المرتفعة:

أ - يتزايد اجهاد القص بسرعة مع زيادة تشوهات القص حتى يصل إلى الذروة  $au_p$  عند قيمة منخفضة نسبياً للتشوهات القاصة (مقارنة بالعينة ذات المقاومة المنخفضة), ثم ينخفض الإجهاد القاص مع زيادة تشوهات



القص حتى الوصول إلى قيمة ثابتة تقريباً τ<sub>cs</sub> (تكون مساوية لإجهاد القص τ<sub>cs</sub> لعينة التربة ذات المقاومة المنخفضة، حيث لا تختلف العينتين عن بعضها البعض إلا بالتشديد المسبق أو بدرجة الارتصاص). ب - تخضع التربة للانضغاط في بداية التجربة ثم يزداد حجمها، حيث تصبح التربة أقل كثافة حتى الوصول إلى قيمة حدية.



الشكل 5-5: سلوك التربة تحت تأثير الاجهادات القاصة



### 5. 4 تعاريف أساسية

إجهاد القص الذي تبلغه التربة عند التشوهات القاصة (Critical shear stress): هو إجهاد القص الذي تبلغه التربة عند التشوهات القاصة الكبيرة ( $\gamma_{zx}>10\%$ ).

زاوية الاحتكاك الداخلي الفعالة الحدية  $\phi'_{cs}$ : هي زاوية الاحتكاك الفعالة الموافقة لإجهاد القص الحدي, وهي مستقلة عن الاجهاد الناظمي المطبق على العينة.

الترب ذات التوسع الحجمي: هي الترب التي تبدي زيادة في الحجم أثناء زيادة تشوهات القص, وتمثل بشكل رئيسي الرمل الكثيف والغضار عالى التشديد المسبق.

ذروة إجهاد القص  $au_{
m p}$  (Peak shear stress): تعني الإجهاد القاص الأعظمي الذي يمكن أن تصل إليه الترب ذات التوسع الحجمي.

زاوية التوسع الحجمي (Dilation angle) تعرف  $\alpha_p$  بأنها نسبة تغير التشوه الحجمي إلى تغير تشوه القص عند ذروة إجهاد القص (الشكل 2-5).

زاوية الاحتكاك الداخلي الفعالة العظمى ع في زاوية الاحتكاك الفعالة الموافقة لذروة إجهاد القص, وهي تتناقص بزيادة الاجهاد الناظمي المطبق على العينة, وتعطى بالعلاقة :

$$\phi_p' = \phi_{cs}' + \alpha_p \tag{5-13}$$

يعطي الجدول  $\phi'_{cs}$  و زاوية الاحتكاك الداخلي الفعالة الحدية  $\phi'_{cs}$  و زاوية الاحتكاك الداخلي الفعالة العظمى  $\phi'_{cs}$ 

φ'r	φ̈́p	φ'cs	نوع التربة
	35-50	30-35	بحص
	30-40	28-33	خليط من البحص والرمل مع بعض المواد الناعمة
	32-50	27-37	رمل
	27-35	24-32	سيلت أو رمل سيلتي
5-15	20-30	15-30	غضار

الجدول 1-5: بعض القيم النموذجية لزاوية الاحتكاك الداخلي الفعالة الحدية  $\phi'_{cs}$  و زاوية الاحتكاك الداخلي المجدول  $\phi'_{D}$ 

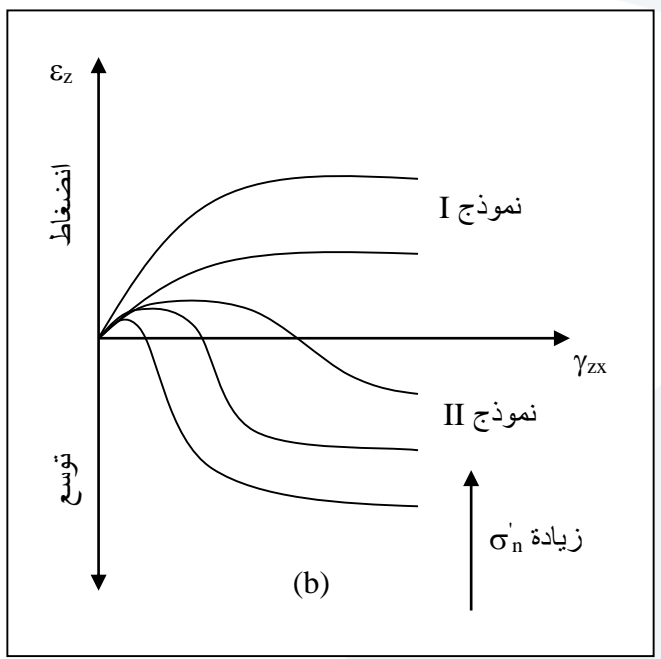
### 5. 5 تأثير الإجهادات الناظمية الفعالة

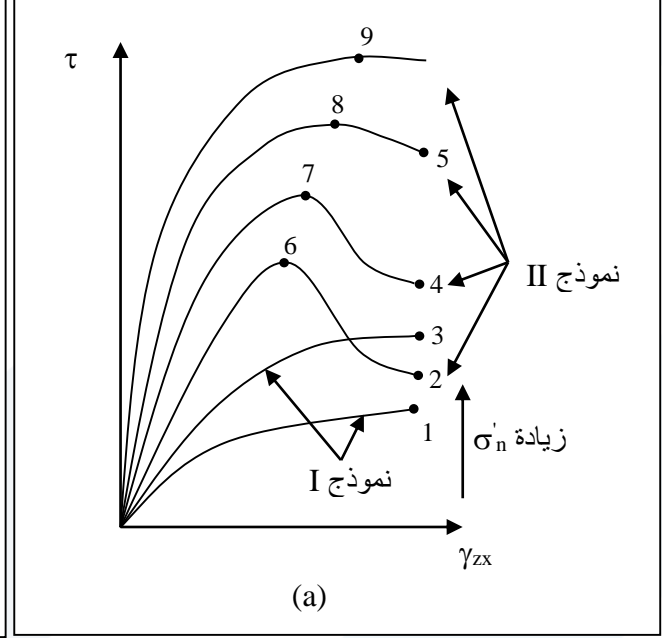
إذا قمنا بزيادة قيمة الإجهاد الناظمي الفعال المطبق على العينة وقمنا بدراسة سلوك التربة تحت تأثير قوى القص فإننا نلاحظ على الشكل 6-5 ما يلي:

1- بالنسبة للترب ذات المقاومة المنخفضة، يزداد كل من الإجهاد القاص الحدي وانضغاطية التربة مع زيادة الإجهاد الناظمي الفعال.



2- من أجل الترب ذات المقاومة المرتفعة، يزداد كل من الإجهاد القاص الحدي والأعظمي وتميل ذروة الإجهادات القاصة نحو الزوال, كما أن توسع التربة يقل وتزداد انضغاطيتها.





الشكل 6-5: تأثير زبادة الإجهادات الناظمية الفعالة على سلوك التربة

يفضل في تصميم المنشآت استخدام عوامل القص المحسوبة اعتماداً على الاجهادات الحدية بدلاً من الاجهادات العظمى وذلك لأن ذروة الاجهادات لا تتشكل في جميع المستويات، كما أن المناطق التي تصل في الاجهادات إلى الذروة سوف تنهار بشكل مفاجئ في هذا النوع من الانهيار.

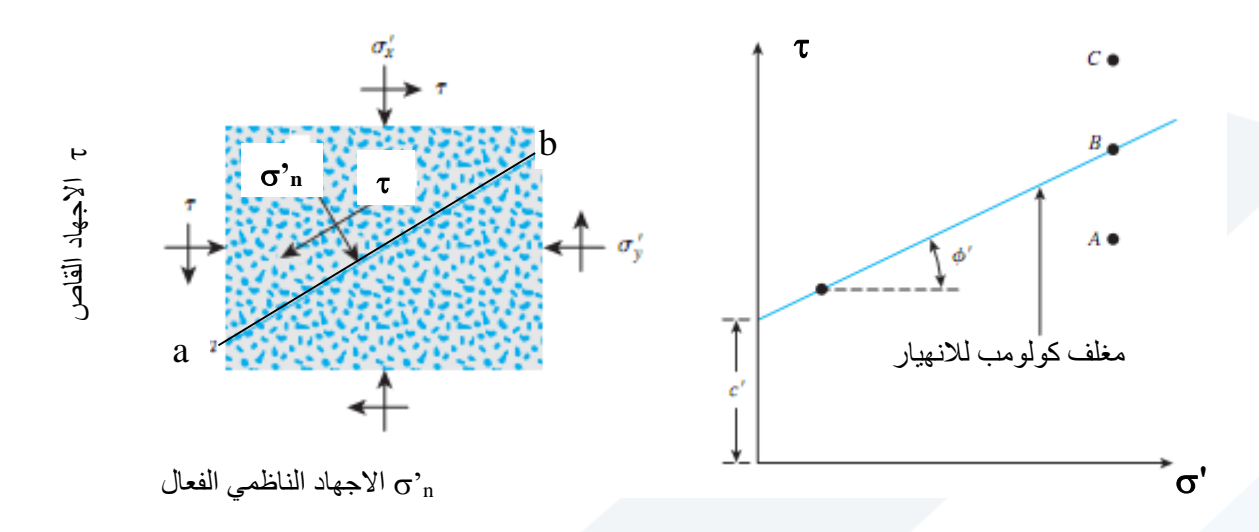
### 5. 6 نظرية مور - كولومب للانهيار

: التعبير عن مقاومة القص للتربة في نقطة ضمن مستوي, اقترح كولومب العلاقة الخطية التالية  $au = C' + \sigma'_n$ . au (5 – 14)

يمكن تمثيل العلاقة السابقة في المستوي ( $\tau$ ,  $\sigma$ ,  $\sigma$ ) بمستقيم يقطع المحور  $\tau$  (المحور الشاقولي) بنقطة إحداثياتها ( $\tau$ ,  $\sigma$ ) ويميل عن محور  $\sigma$  (المحور الأفقي) بالزاوية  $\sigma$  (الشكل  $\tau$ -5) ويدعى بمغلف كولومب للانهيار بالاحتكاك. يمكن شرح هذه العلاقة كما يلى:

لنفرض أن  $\sigma'_n$  و  $\tau$  الأجهادات الناظمية والمماسية على المستوي ab. إذا كانت قيم هذه الأجهادات بحيث تمثل بالنقطة A فإن الأنهيار بالقص لن يحدث على المستوي ab ، أما إذا كانت قيم الأجهادات بحيث تمثل بالنقطة C الواقعة على مغلف كولومب فإن الأنهيار سيحصل، أما حالة الأجهادات فوق مستقيم الأنهيار والممثلة بالنقطة كفلا يمكن أن تحدث.





الشكل 7-5: مغلف كولومب للانهيار

إن فرضية العلاقة الخطية بين مقاومة القص والاجهاد الناظني صحيحة فقط في الترب ذات المقاومة المنخفضة أما في الترب ذات المقاومة المرتفعة (رمل متراص وغضار مسبق التشديد) فالعلاقة لاخطية حتى اجهاد ناظمي مساوي للضغط المسبق وذلك بسبب وجود ذروة اجهادات القص، أي أن زاوية الاحتكاك الأعظمية تتعلق بالاجهاد الناظمي على مستوي الانهيار، ولكن في الحياة العملية يتم في تصميم المنشآت اعتبار العلاقة خطية بين الاجهاد الناظمي والاجهاد القاص.

يمكن التعبير عن مقاومة القص للتربة بدلالة الاجهادات الرئيسية الأعظمية والأصغرية بدلاً من الاجهاد الناظمي واجهاد القص كالتالي:

لنرسم مغلف كولومب للانهيار بالاحتكاك AB, ولنرسم دائرة مور للاجهادات (الشكل 8-5).

من الشكل لدينا:

$$\sin \phi' = \frac{\frac{\sigma_1' - \sigma_3'}{2}}{\frac{C'}{Tan \phi'} + \frac{\sigma_1' + \sigma_3'}{2}}$$
 (5-15)

بترتيب المعادلة السابقة نحصل على:

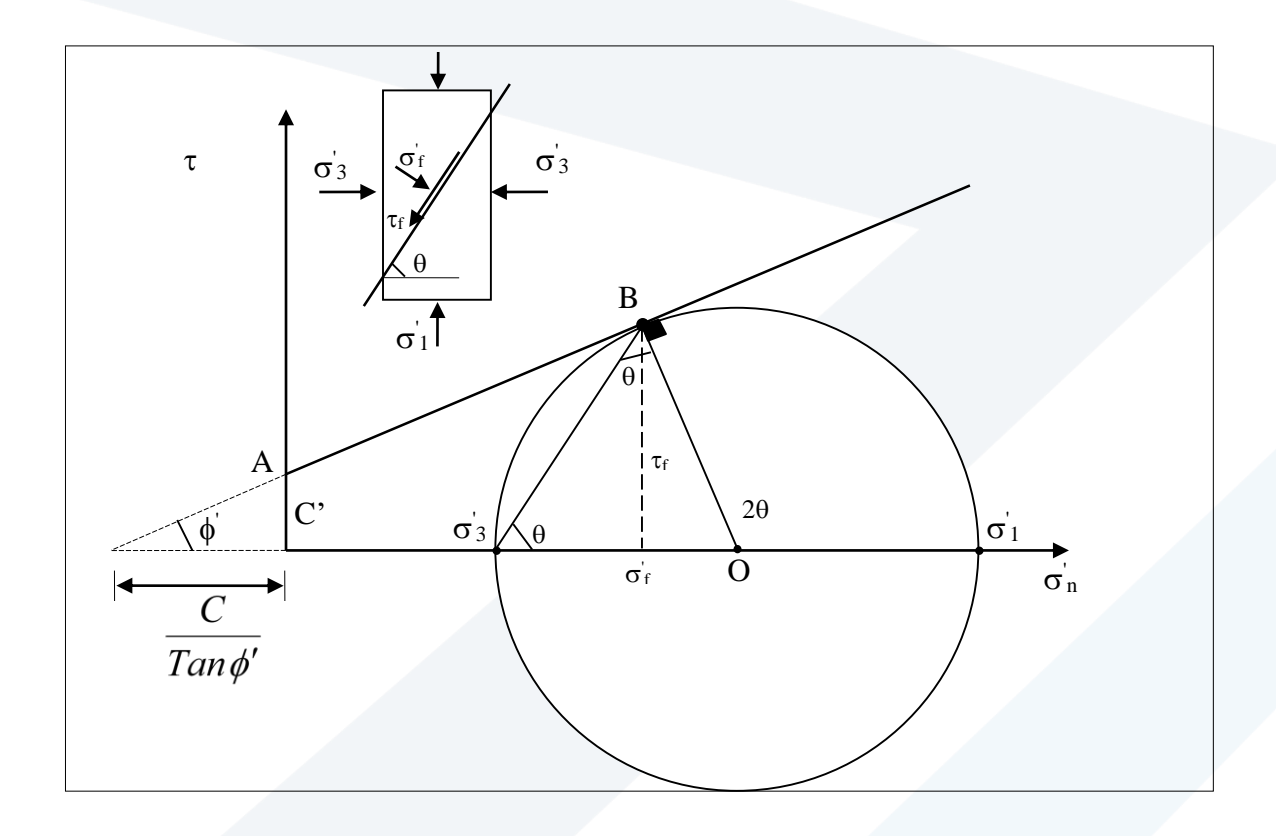
$$\frac{1}{2}(\sigma_1' - \sigma_3') = C'\cos\phi' + \frac{1}{2}(\sigma_1' + \sigma_3')\sin\phi'$$
 (5-16)

ويمكن كتابتها أيضاً على الشكل:

$$\sigma_1' = \sigma_3' Tan^2 (45 + \frac{\phi'}{2}) + 2C' Tan (45 + \frac{\phi'}{2})$$
 (5-17)

تدعى العلاقة 5-5 بموديل مور -كولومب للانهيار





الشكل 8-5: دائرة مور عند الانهيار

يمكن أيضاً كتابة المعادلة 6-15 بالشكل التالي:

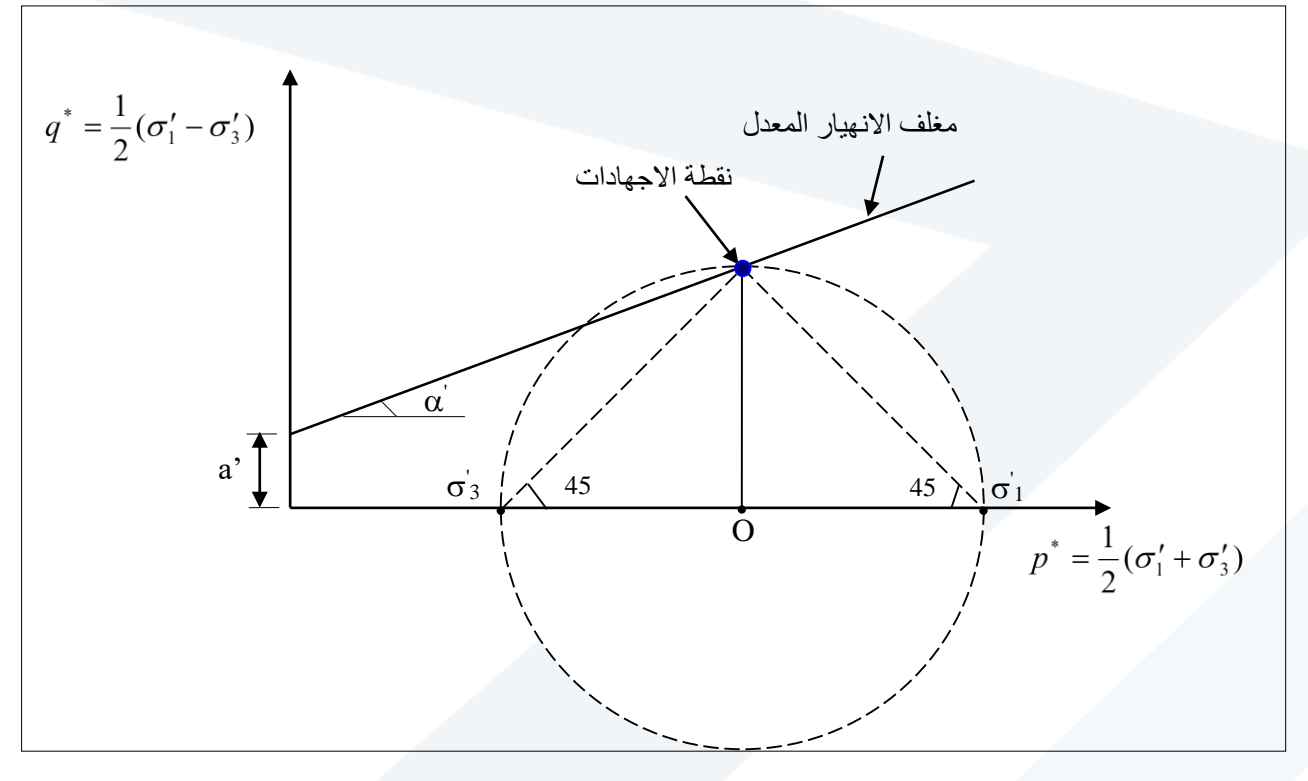
$$\frac{1}{2}(\sigma_1' - \sigma_3') = a' + \frac{1}{2}(\sigma_1' + \sigma_3') Tan \alpha'$$
 (5-17)

حيث:

$$C' = \frac{a'}{\cos \phi'} \qquad \sin \phi' = Tan \ \alpha' \qquad (5-18)$$

باستخدام  $p^* = \frac{1}{2}(\sigma_1' - \sigma_3')$  كمحور شاقولي و  $p^* = \frac{1}{2}(\sigma_1' + \sigma_3')$  كمحور أفقي, تبين المعادلة 5-17 أن أية حالة إجهادات يمكن تمثيلها بنقطة واقعة على مستقيم يقطع المحور الشاقولي بالنقطة (a',0) ويميل عن المحور الأفقي بزاوية  $\alpha'$  (الشكل 9-5). إن هذا التمثيل مهم جداً وذلك لأنه يمكن من تمثيل أية حالة إجهادات بنقطة إجهادات بدلاً من دائرة مور.





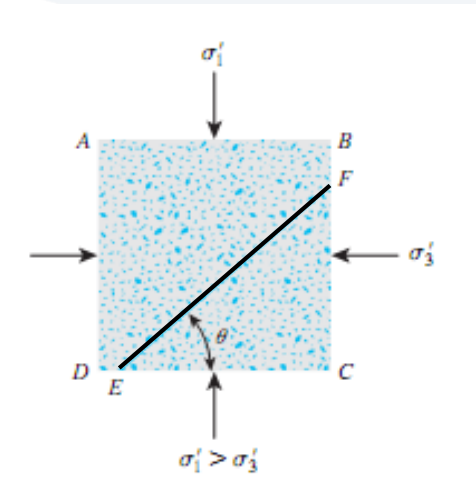
 $\left[p^{*},q^{*}\right]$  الشكل 9-5 : تمثيل الحالة الأجهادية في المستوي

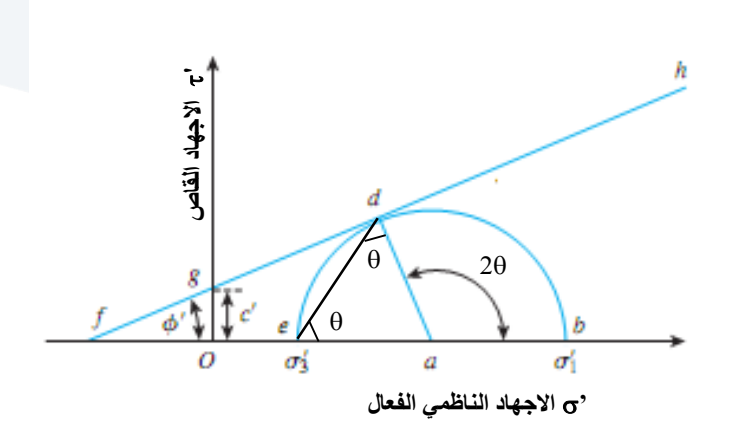
## 5. 6 ميل مستوي الانهيار نتيجة للقص

كما تم ذكره في نظرية مور كولومب للانهيار فإن الانهيار بالقص يحدث عندما تصل الاجهادات على مستوي ما القيم المعطاة بالعلاقة 5-2. بفرض أن 3 و 3 تمثلان بالترتيب الاجهاد الرئيسي الأعظمي الفعال والاجهاد الرئيسي الأصغري الفعال، وبفرض EF مستوي الانهيار الذي يصنع زاوية 3 مع مستوي الاجهاد الرئيسي الأعظمي. من أجل تحديد الزاوية 3 والعلاقة بين 3 و 3 ، نرسم دائرة مور لحالة الاجهاد المبينة في الشكل 3 ومثل المستقيم 3 الشكل 3 مغلف كولومب للانهيار ، والمستقيم 3 مستوي الاجهاد الرئيسي الأعظمي (يمثل المستوي 3 على الشكل 3 على الشكل 3 على الشكل 3 على الشكل 3 الشكل 3 على الشكل 3 ويمثل المستوي 3 مغلف 3 مستوي الانهيار (يمثل المستوي 3 على الشكل 3 على الشكل 3 ويمثل المستوي 3 على الشكل 3 ويمثل المستوي 3 الأنهيار (يمثل المستوي 3 على الشكل 3 ويمثل المستوي 3 الأنهيار (يمثل المستوي 3 على الشكل 3 ويمثل المستوي 3 الأنهيار (يمثل المستوي 3 على الشكل 3 ويمثل المستوي 3 الأنهيار (يمثل المستوي 3 على الشكل 3 ويمثل المستوي 3 الأنهيار (يمثل المستوي 3 على الشكل 3 ويمثل المستوي 3 الأنهيار (يمثل المستوي 3 على الشكل 3 المناطقة أن أن المناطقة أن 3 المناطقة أن 3 الشكل 3 المناطقة أن أن المناطقة أن الم

$$\theta = 45 + \frac{\phi'}{2} \tag{5-19}$$







الشكل 10-5: ميل مستوي الانهيار مع مستوي الشكل 10-الجهاد الرئيسي الأعظمي

الشكل 11-5: دائرة مور مع مغلف كولومب

#### 5. 7 التحميل المصرف والتحميل غير المصرف

يكون التحميل مصرفاً عندما تتبدد زيادة ضغط الماء المسامي المتكونة نتيجة للتحميل ( $\Delta u = 0$ ) ويحصل تغير حجمي للتربة  $\Delta V$ ، أما التحميل غير المصرف فتكون سرعة التحميل أكبر بكثير من سرعة تبدد زيادة ضغط الماء المسامى و ينعدم بذلك التغير الحجمى للتربة, وبنتج عن ذلك تغيراً لضغط الماء المسامى.

الترب التي تميل إلى الانضغاط في حالة التحميل المصرف يحصل فيها زيادة في ضغط الماء المسامي أثناء التحميل غير المصرف (الشكل 12-5), وهذا يؤدي إلى انخفاض قيمة الاجهادات الفعالة. أما الترب التي تميل إلى التوسع في حالة التحميل المصرف فسوف يحصل فيها نقصاناً في ضغط الماء المسامي أثناء التحميل غير المصرف, وهذا يؤدي إلى زيادة الاجهادات الفعالة.

يحتاج الغضار لفترة طويلة من الزمن تصل إلى عدة سنوات من أجل تبدد الزيادة في ضغط الماء المسامي لذلك إذا خضعت الترب الغضارية لتحميل خلال فترة قصيرة من الزمن , فيجب أن يطبق عليه حالة التحميل غير المصرف, أما إذا كان التحميل طويل الأمد , كالتشديد الناتج عن الأحمال الثابتة للمنشأ, فيمكن اعتماد التحميل المصرف في دراسة سلوك التربة. أما إذا خضعت الترب المفككة الخشنة لزيادة في ضغط الماء المسامي فإنها تتبدد بسرعة ويمكن أن يطبق عليها التحميل المصرف لجميع حالات التحميل الستاتيكي, أما التحميل الديناميكي فيعتبر تحميلاً غير مصرفاً حتى في حالة الترب المفككة.

تدعى مقاومة القص تحت شروط التحميل السريع وغير المصرف بمقاومة القص غير المصرفة  $S_u$  وهي مساوية للتماسك غير المصرف Cu, وتمثل نصف قطر دائرة مور للاجهادات الكلية (الشكل  $S_u$ ), أي أن :

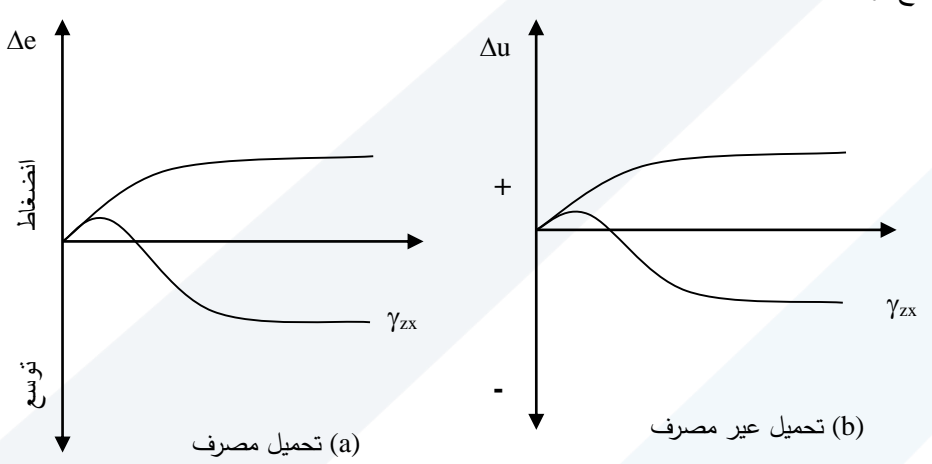
$$s_u = \frac{(\sigma_1)_f - (\sigma_3)_f}{2} = \frac{(\sigma_1')_f - (\sigma_3')_f}{2}$$
 (5 – 20)

- الأجهاد الرئيسي الأعظمي عند الأنهيار  $(\sigma_1)_f$
- σ'3)f الاجهاد الرئيسي الأصغري عند الانهيار

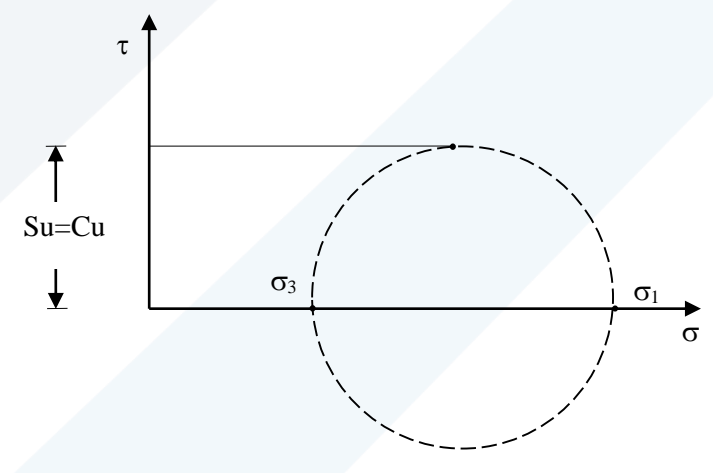


تعتبر مقاومة القص غير المصرف بارامتر المقاومة الوحيد لحالة التحميل السريع وغير المصرف، أما بارامترات التحميل المصرف فهي زاوية الاحتكاك الداخلي الفعالة الحدية  $\phi'_{cs}$  و زاوية الاحتكاك الداخلي الفعالة العظمى  $\phi'_{p}$  و التماسك المصرف  $\phi'_{cs}$  أن  $\phi'_{cs}$  ثابتة للتربة ولا تتعلق بالشروط الأولية ولا بالاجهاد الجانبي, بينما  $\phi'_{p}$  تتعلق بالاجهاد الجانبي.

عند تصميم المنشآت الجيوتكنيكية يجب على المهندس الجيوتكنيكي دراسة حالتي التحميل المصرف (طويل الأمد) وغير المصرف (قصير الأمد) واعتماد الحالة الملائمة بما يتناسب مع حالات التحميل التي يمكن أن يخضع لها المنشأ.



الشكل 12-5: تغير ضغط الماء المسامي في التحميل غير المصرف لحالتي التربة ذات المقاومة المنخفضة والمرتفعة



الشكل 13-5: دائرة مور والتماسك لحالة التحميل السريع وغير المصرف



### 5. 8 التجارب المخبرية لتحديد بارامترات مقاومة القص

#### 5. 8. 1 تجربة القص المباشر

تعتبر تجربة القص المباشر من أشهر التجارب المستخدمة لتحديد بارامترات مقاومة القص للتربة. يتألف جهاز القص من علبة معدنية مقسومة إلى جزأين ومفتوحة من الأعلى, يتم وضع التربة ضمن العلبة ثم تطبيق قوة شاقولية عليها بواسطة غطار معدني صلب, بعد ذلك يتم تحريك أحد جزأي العلبة أفقياً بواسطة محرك يولد انتقالاً افقياً لأحد جزأي العينة, بهذه الطريقة يتم إجبار التربة على أن تنهار على طول منطقة أفقية قليلة السماكة (المستوي ab من الشكل 14-5), ويتم قياس الانتقالات الأفقية والشاقولية والقوى الأفقية خلال التجربة. يتم عادة إجراء ثلاث تجارب للعينة الواحدة باستخدام ثلاثة اجهادات شاقولية مختلفة.

لا يمكن منع التصريف في صندوق القص خلال التجربة ولكن يمكن تحديد مقاومة القص غير المصرفة للغضار عن طريق تحريك أحد جزأي علبة القص بسرعة كبيرة. في جميع الأحوال, يجب عدم استخدام تجربة القص المباشر من أجل التحديد الدقيق لمقاومة القص غير المصرفة للتربة.

من أجل الحصول على سلوك مصرف للترب المتماسكة يتم إجراء تجربة القص المباشر بسرعة منخفضة، والتي يمكن ربطها بقرينة اللدونة للتربة وفق الجدول التالي:

سرعة القص الأعظمية	قرينة اللدونة
(mm/min)	PI(%)
0.05	10-25
0.01	25-50
0.005	>50

الجدول 2-5: سرعة القص الأعظمية بدلالة قرينة اللدونة في تجربة القص المباشر المصرفة للترب المتماسكة اعتماداً على النتائج المســـجلة خلال التجربة يمكن تحديد  $\phi'_{cs}$ ,  $\phi'_{p}$  (و  $\phi'_{cs}$ ,  $\phi'_{p}$ ).

 $\phi'_{cs}$  في حالة الرمل المخلخل (الشكل 5-5)، يكون عامل القص في حالة الرمل المخلخل (الشكل 5-5)، يكون تحديد اجهاد القص الحدى بالعلاقة :

$$\tau_{cs} = \frac{\left(P_x\right)_{cs}}{A} \tag{5-21}$$

إذا رسمنا القوى الأفقية بدلالة القوى الشاقولية فيجب أن تقع القوى الأفقية الحدية على خط مستقيم مار من المبدأ. تظهر النتائج المخبرية عادة انحرافاً طفيفاً عن الخط المستقيم ويتم اختيار أفضل خط مستقيم ممثل لنقاط التجارب, ميل هذا المستقيم عن المحور الأفقى هو  $\phi'_{cs}$ , أي:

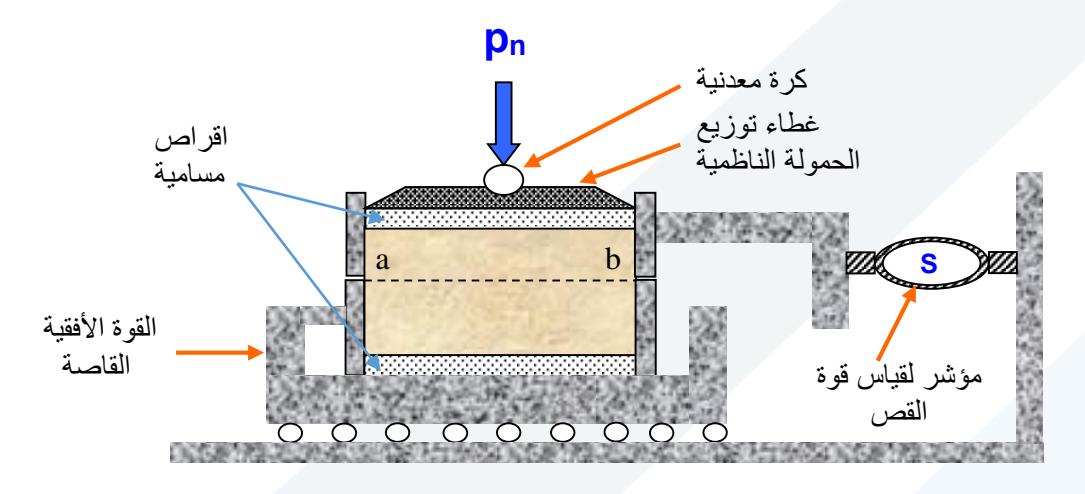
$$\phi_{cs}' = \frac{\left(P_x\right)_{cs}}{P} \tag{5-22}$$

يبين الشكل 15-5 دائرة مور لحالة الاجهاد الحدي في تجربة القص في حالة الرمل المخلخل أو الغضار المشدد طبيعياً

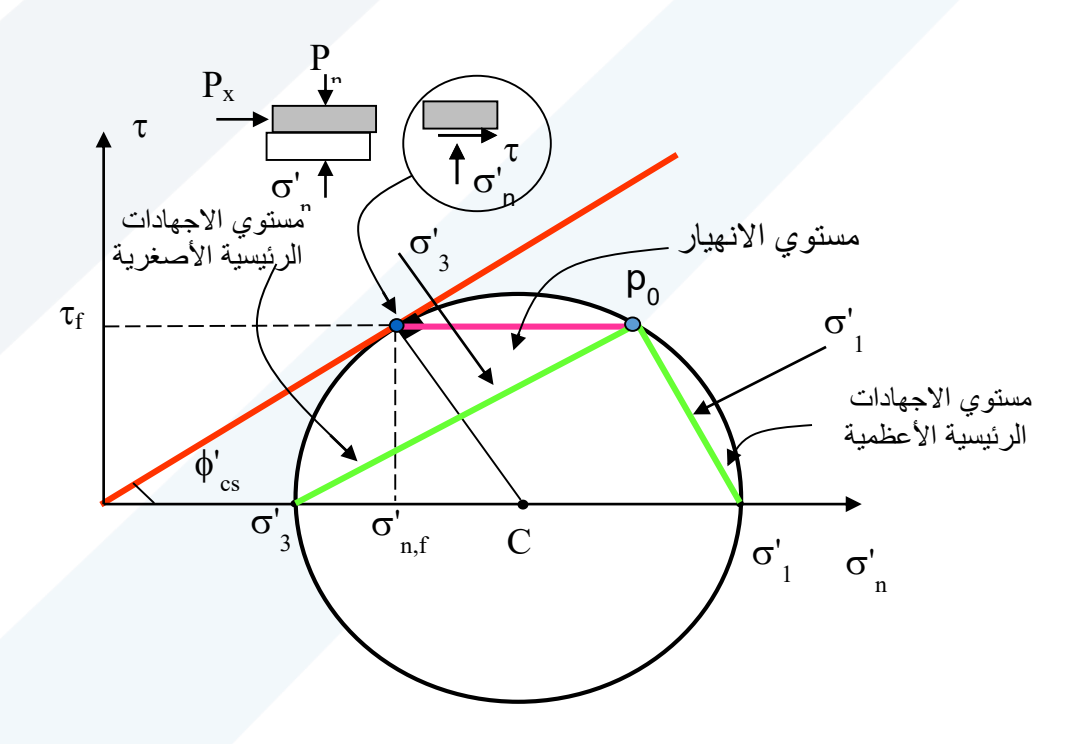


وفي حالة الغضار مسبق التشديد (الترب القوية في الشكل 5-5)، تكون عوامل القص  $\phi'_{cs}, \phi'_{p}, C'$  يمكن تحديد اجهاد الأعظمي بالعلاقة :

$$\tau_p = \frac{\left(P_x\right)_p}{A} \tag{5-23}$$



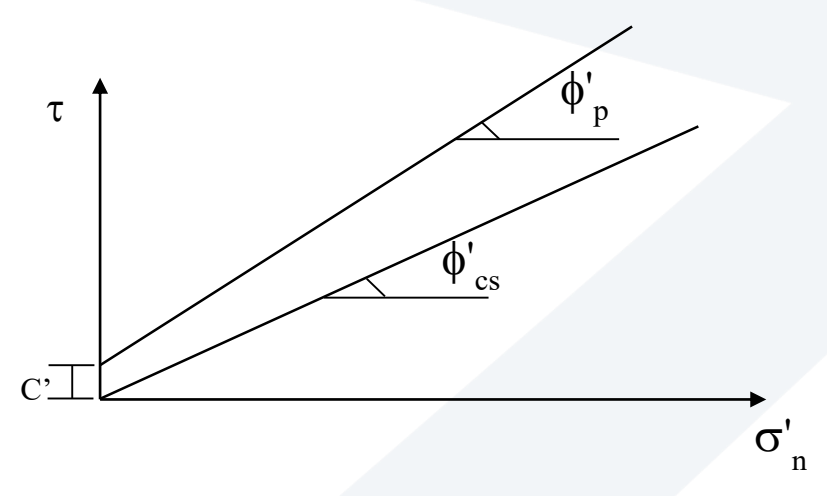
الشكل 14-5: علبة القص في تجربة القص المباشر



الشكل 15-5: دائرة مور لحالة الاجهاد الحدي في تجربة القص في حالة الرمل المخلخل أو الغضار المشدد طبيعياً

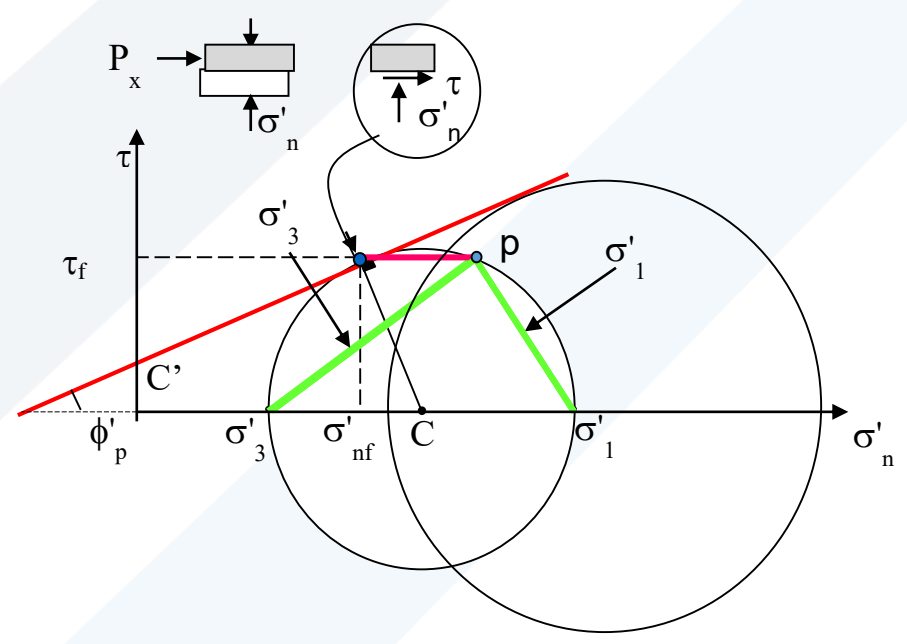


يمكن تحديد زوايا الاحتكاك الداخلي  $\phi'_{cs}$ ,  $\phi'_{p}$  عن طريق رسم مغلف كولومب لثلاث تجارب في الحالتين الحدية والعظمى (الشكل 5-16)، وتكون  $\alpha_p = \phi'_p - \phi'_{cs}$ 



الشكل 16-5: مغلف كولومب لحالتي الاجهاد الحدي والأعظمي وتحديد زوايا الاحتكاك لحالة الترب المتماسكة مسبقة التشديد

يبين الشكل 17-5 دائرة مور لحالة الاجهاد الأعظمي في تجربة القص في حالة الترب المتماسكة مسبقة الانضغاط

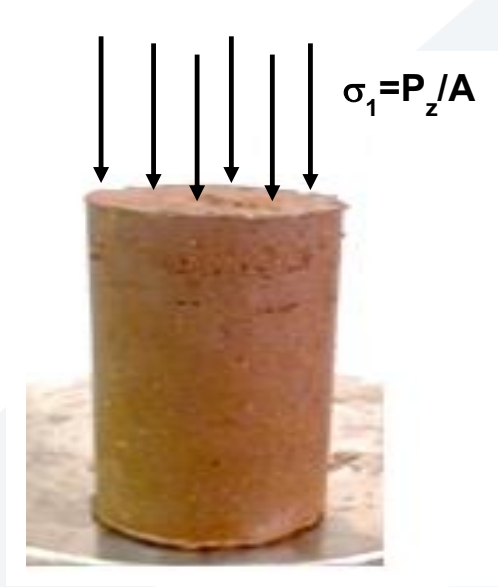


الشكل 17-5: دائرة مور لحالة الاجهاد الأعظمي في تجربة القص في حالة الترب المتماسكة مسبقة الانضغاط



## 5. 8. 2 تجربة الضغط الحر Unconfined Compression Test) UC

الهدف من هذه التجربة هو تحديد مقاومة القص غير المصرف للغضار المشبع. في هذه التجربة, يتم تطبيق الجهاد (أو تشوه) شاقولي متزايد بسرعة كبيرة نسبياً دون تطبيق أي اجهاد جانبي ( $\sigma_3 = 0$ ) حتى انهيار العينة, ويتم قياس التشوه والاجهاد الشاقوليين. سرعة تطبيق الاجهاد (أو التشوه) الشاقولي بحدود 1% من ارتفاع العينة في الدقيقة، أو معدل التشوه من  $\sigma_3 = 0$ .



الشكل 18-5: تجربة الضغط الحر

بما أن التحميل سريع وعامل نفاذية التربة منخفض فإن ضغط الماء المسامي في العينة لا يمكن أن يتشتت, أي أنه يتم قص العينة تحت حجم ثابت.

لو اعتبرنا أنه قد تم قياس تغير ضغط الماء المسامي فإنه سيكون سالباً, ويمكن تعليل ذلك كما يلي : بما أن  $\sigma_3 = 0$  فإن  $\sigma_3 = 0$  وبما أن الاجهاد الفعال لا يمكن أن يكون سالباً وذلك لأن التربة لا تتحمل الشد فإن تغير ضغط الماء المسامي  $\Delta u$  يجب ان يكون سالباً. بذلك تكون دائرة مور للاجهادات الفعالة واقعة على يمين دائرة مور للاجهادات الكلية (الشكل  $\sigma_3 = 0$ ). من دائرة مور نلاحظ بأن :

$$C_u = \frac{P_z}{2A} = \frac{\sigma_1}{2}$$
 (5 – 24)

حبث:

Pz الحمولة الشاقولية المطبقة على العينة

A مقطع العينة, وهو متغير أثناء التحميل, وبتم حسابه في أية لحظة كما يلي:



$$A = \frac{V}{H} = \frac{V_0 - \Delta V}{H_0 - \Delta H} = \frac{V_0 \left(1 - \frac{\Delta V}{V_0}\right)}{H_0 \left(1 - \frac{\Delta H}{H_0}\right)} = A_0 \frac{1 - \varepsilon_v}{1 - \varepsilon_1}$$
 (5 - 25)

لكن في تجربة الضغط الحر على الغضار المشبع  $0 = \Delta V$ , فتصبح العلاقة السابقة:

$$A = \frac{A_0}{1 - \varepsilon_1} \tag{5 - 26}$$

A0 مقطع العينة الأولي

Vo حجم العينة الأولي

ΔΗ التغير في حجم العينة

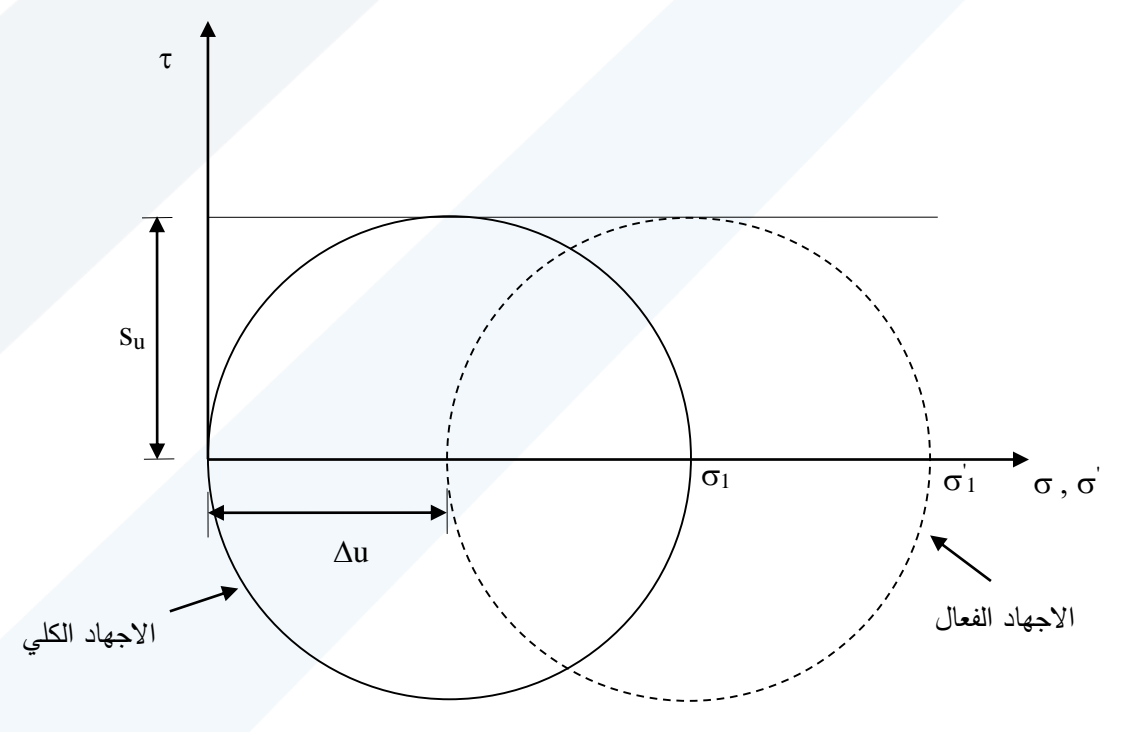
H<sub>0</sub> ارتفاع العينة الأولي

Δz التغير في ارتفاع العينة

$$arepsilon_1 = rac{\Delta z}{H_0}$$
 التشوه الشاقولي,  $arepsilon_1$ 

$$arepsilon_{_{V}}=rac{\Delta V}{V_{_{0}}}$$
 , التشوه الحجمي  $arepsilon_{_{V}}$ 

 $E_u$  بالأضافة إلى مقاومة القص غير المصرف  $S_u$  فإنه يمكن تحديد معامل يونغ (المرونة) غير المصرف من منحنى  $(\epsilon_1, \sigma_1)$ .



الشكل 19-5 : دوائر مور الكلية والفعالة والتماسك غير المصرف لتجربة الضغط الحر



### 5. 8. 3 تجرية الضغط ثلاثي المحاور

تعتبر تجربة الضغط ثلاثي المحاور أكثر التجارب استخداماً لتحديد بارامترات القص ولدراسة سلوك التربة. الاسم ثلاثي المحاور ليس دقيقاً وذلك لأنه يمكن مراقبة اجهادين فقط في التجربة (الاجهادين الأفقيين متساويين  $\sigma_2 = \sigma_3$ ). في هذه التجربة يتم تعريض عينة اسطوانية, ارتفاعها عادة ضعف قطرها, إلى زيادة مراقبة للاجهادات أو للانتقالات الشاقولية أوالجانبية أو الاثنين معاً. يتم وضع العينة ضمن غشاء مطاطي رقيق ثم تعريضها لاجهاد جانبي مطبق بواسطة ضغط الماء الموجود في الحجرة الاسطوانية (الشكل 20-5), ثم يتم تطبيق القوة الشاقولية أو الانتقال الشاقولي بواسطة محور الاسطوانة عن طريق مكبس أوتوماتيكي. إذا كان الاجهاد الشاقولي أكبر من الاجهاد الأفقي تدعى التجربة بتجربة الضيغط ثلاثي المحاور. أما إذا كان الاجهاد الأفقي أكبر من الاجهاد الشاقولي فتكون العينة منضغطة جانبياً وتدعى بتجربة الشد ثلاثي المحاور.

في تجربة الضغط ثلاثي المحاور تكون الاجهادات المطبقة اجهادات رئيسية وحالة التحميل هي تناظر محوري. من أجل تجارب الانضغاط, سوف نرمز للاجهاد الجانبي  $\sigma_r$  بـ  $\sigma_z$  و للاجهاد الشاقولي  $\sigma_z$  بـ  $\sigma_z$  .

في تجربة الانضغاط, تحسب القيم الوسطية للاجهادات والتشوهات في العينة بالعلاقات التالية:

$$\sigma_1 = \frac{P_z}{A} + \sigma_3$$
: الأجهاد الرئيسي الأعظمي

$$q = \sigma_1 - \sigma_3 = \frac{P_z}{A}$$
: الأجهاد الديفياتوري

$$arepsilon_1 = rac{\Delta z}{H_{\,0}}$$
: التشوه الشاقولي

$$\varepsilon_r = \frac{\Delta r}{r_0}$$
 التشوه الجانبي:

$$arepsilon_{_{V}}=rac{\Delta V}{V_{_{0}}}=arepsilon_{_{1}}+2arepsilon_{_{3}}$$
 : التشوه الحجمي

$$\varepsilon_q = \frac{2}{3}(\varepsilon_1 - \varepsilon_3)$$
: التشوه الديفياتوري

حيث:

نصف قطر العينة الأولي  $r_0$ 

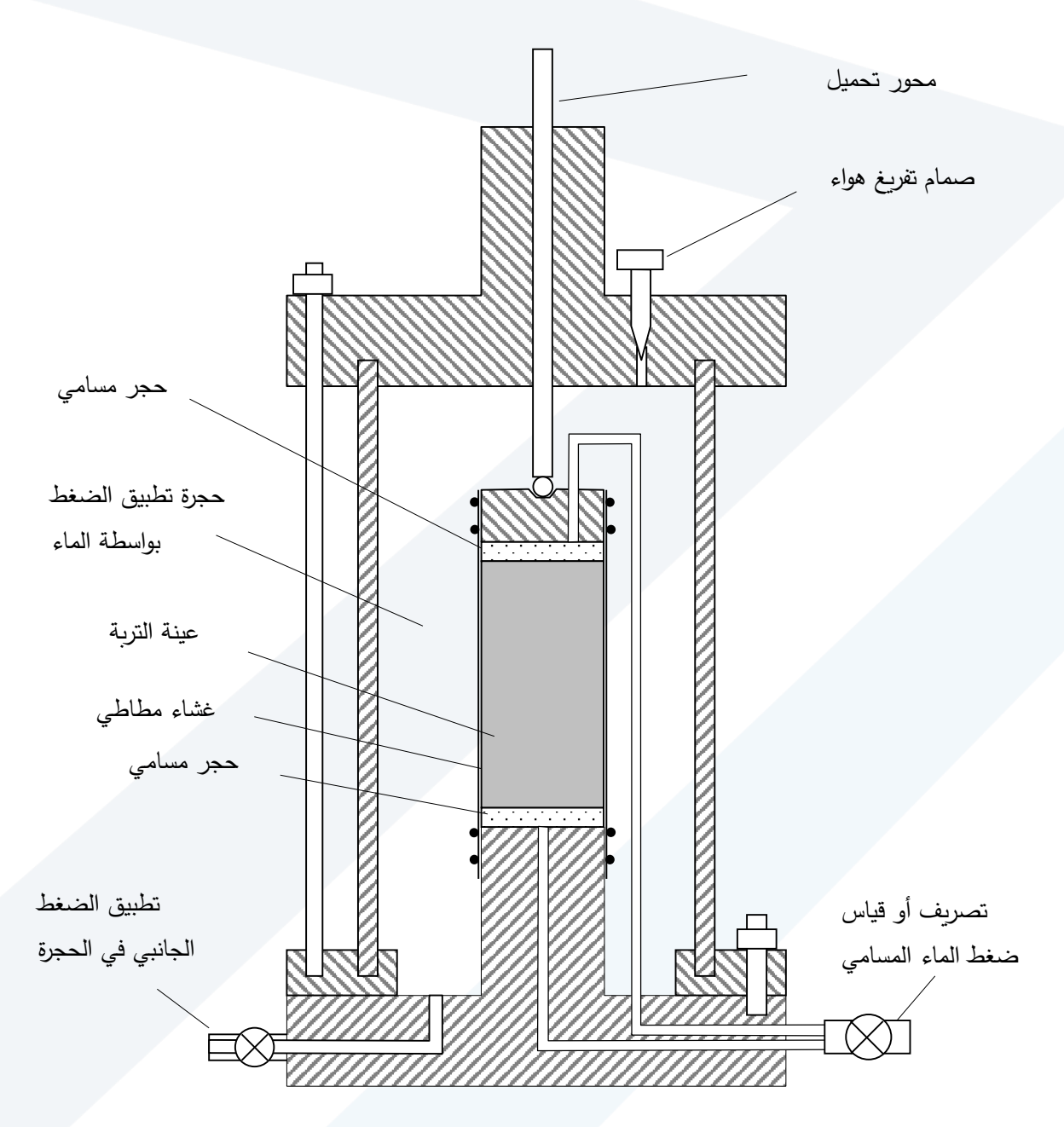
Δr التغير في نصف القطر

.  $(q = \sigma_1 - \sigma_3)$  يدعى حمولة المحور بالحمولة الديفياتورية, والاجهاد الموافق بالاجهاد الديفياتوري بالحمولة الديفياتورية, والاجهاد الموافق بالاجهاد المحور بالحمولة الديفياتورية المحور بالحمولة الديفياتورية بالمحور بالحمولة الديفياتورية المحور بالحمولة المحور بالمحور ب

يتميز جهاز الضغط ثلاثي المحاور عن غيره بما يلي:

- 1- إمكانية مراقبة الاجهادات المحورية والجانبية, كل على حدة
- 2- إمكانية إجراء تجارب تحت شروط تحميل مصرفة وغير مصرفة
  - 3- إمكانية التحكم بالانتقالات المطبقة
- 4- إمكانية تطبيق عدد كبير من مسارات التحميل على عينات التربة





الشكل 20-5: جهاز الضغط ثلاثي المحاور

5. 8. 3. مقاومة القص للترب المفككة

تعطى مقاومة القص للترب المفككة بالعلاقة  $\sigma_n' = \sigma_n' \tan \phi'$  في حالة التحميل المصرف تكون الاجهادات الكلية مساوية للاجهادات الفعالة:

 $\sigma_1'=\sigma_1=\sigma_3+q$  الأجهاد الرئيسي الأعظمي الفعال  $\sigma_3'=\sigma_3$  الأجهاد الرئيسي الأصغري الفعال

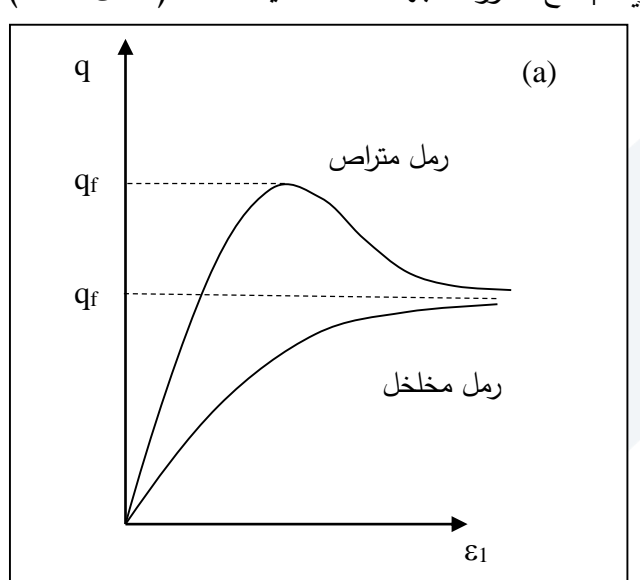


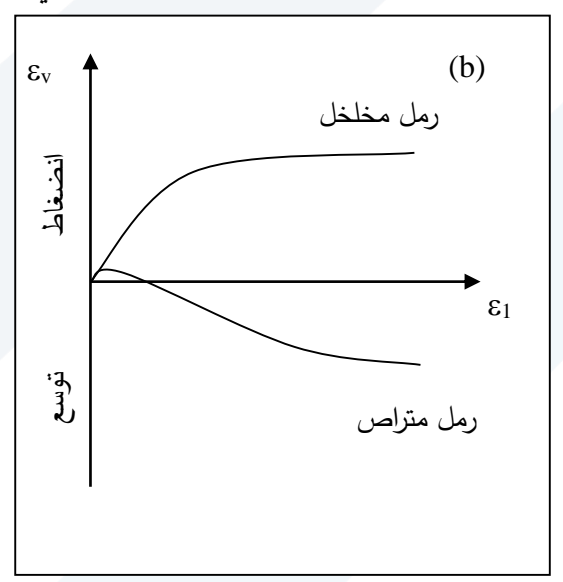
حيث q تمثل الاجهاد الديفياتوري

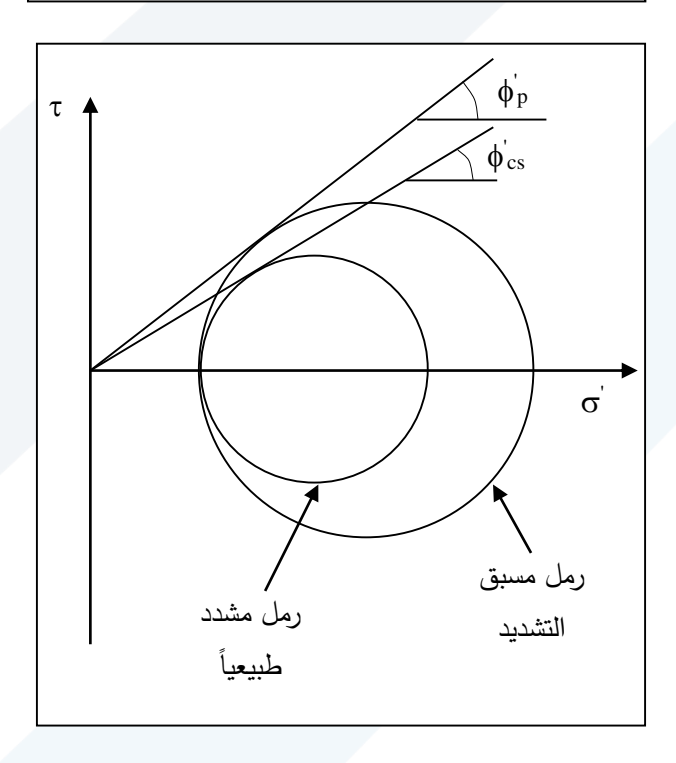
يمكن كتابة علاقة الأجهاد الرئيسي الأعظمي الفعال عند الأنهيار بالشكل  $q_f$  حيث  $\sigma_1'=\sigma_1=\sigma_3+q_f$  تمثل الأجهاد الديفياتوري عند الأنهيار .

يبين الشكل 21-5 منحنيات الاجهاد والتشوه لحالتي الترب المفككة المخلخلة والمتراصة.

يمكن تحديد زاوية الاحتكاك الداخلي عن طريق رسم دوائر مور للاجهادات الفعالة لمختلف الاختبارات ورسم المماس المار من المبدأ لهذه الدوائر الذي يصنع زاوية  $\phi$  مع محور الاجهادات الناظمية الفعالة (الشكل 22-5).

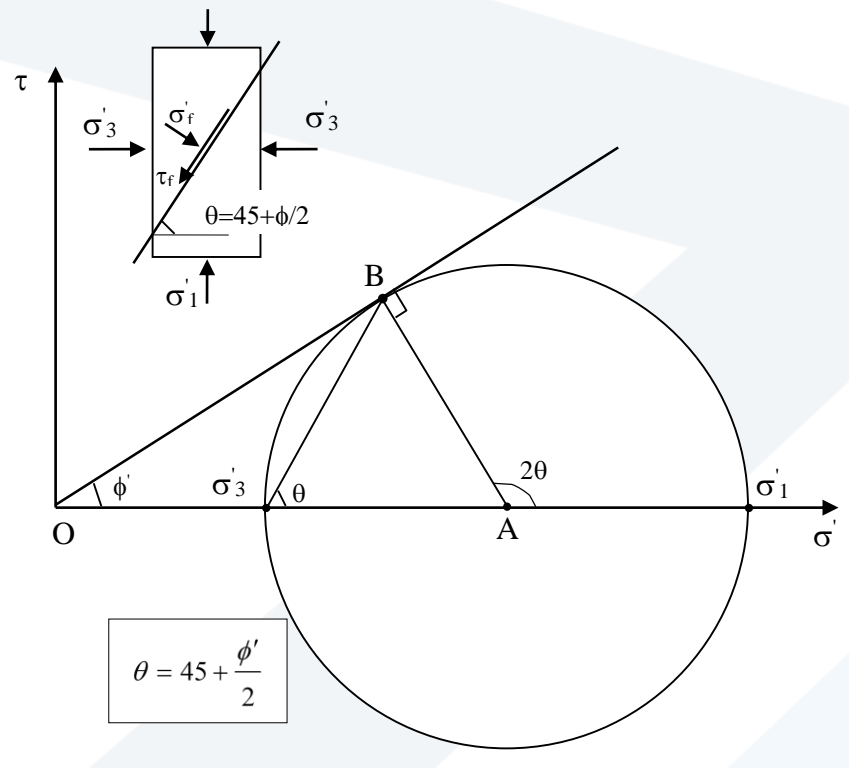






الشكل 21-5: منحنيات الاجهاد والتشوه لحالتي الترب المفككة المخلخلة والمتراصة.





الشكل 22-5: دوائر مور للاجهادات الفعالة للترب المفككة

اعتماداً على الشكل السابق يمكن كتابة:

$$\sin \phi' = \frac{\sigma_1' - \sigma_3'}{\sigma_1' + \sigma_3'}$$
 (5 – 27)

وتكون زاوية الاحتكاك الداخلي الحدية الفعالة:

$$\sin \phi'_{cs} = \left(\frac{\sigma'_1 - \sigma'_3}{\sigma'_1 + \sigma'_3}\right)_{cs} \tag{5-28}$$

وتكون زاوية الاحتكاك الداخلي الأعظمية الفعالة:

$$\sin \phi_p' = \left(\frac{\sigma_1' - \sigma_3'}{\sigma_1' + \sigma_3'}\right)_p \tag{5-29}$$

ويكون الاجهاد الرئيسي الأعظمي الفعال:

$$\sigma_1' = \sigma_3' \frac{1 + \sin \phi'}{1 - \sin \phi'} = \sigma_3' Tan^2 (45 + \frac{\phi'}{2})$$
 (5 – 30)

5. 8. 3. 2 مقاومة القص للترب الغضارية

تعطى مقاومة القص للترب الغضارية بالعلاقة:

$$\tau = C' + \sigma'_n \tan \phi' \qquad (5 - 31)$$



في حالة الترب المشددة طبيعياً تكون  $0 \approx C' > 0$ , وفي حالة الترب مسبقة التشديد تكون 0 < C' > 0 تجرى عادة ثلاث تجارب ثلاثي المحاور مألوفة على الغضار, وهذه التجارب هي:

1- التجربة المشددة المصرفة (CD)

(CU) التجربة المشددة غير المصرفة –2

3- التجرية غير المشددة وغير المصرفة (UU)

تجرية الضغط المشددة المصرفة CD

الهدف من هذه التجربة هو تحديد بارامترات مقاومة القص المصرفة  $\phi'_{cs}$  ومعامل يونغ E' ومعامل يونغ القاطع E's

يتم إنجاز التجرية على ثلاث مرحلتين؛ مرحلة إشباع العينة ومرحلة تشديد العينة ومرحلة قصها.

يتم في المرحلة الأولى إشباع العينة أما في المرحلة الثانية فيتم تشديد العينة حتى مستوى الاجهاد الفعال المطلوب عن طريق ضغط الماء الموجود في الحجرة مع السماح بتصريف العينة حتى تبدد الزيادة في ضغط الماء المسامى.

يتم في المرحلة الثالثة المحافظة على الضعط الجانبي المطبق في المرحلة الثانية ثابتاً وزيادة الاجهاد الناظمي الشاقولي (أو التشوه الشاقولي) حتى الانهيار.

يجب أن يكون معدل التشوهات الشاقولية المطبقة صغير جداً وذلك من أجل السماح لزيادة ضغط الماء المسامي بالتبدد. بما أن نفاذية الترب الناعمة أصغر بكثير من نفاذية الترب الخشنة فإن معدل التشوهات المطبقة عند اختبار الترب الناعمة يجب أن يكون أصغر بكثير منه في الترب الخشنة. يمكن تحديد السرعة الأعظمية لتطبيق الاجهاد (أو التشوه) الشاقولي بدلالة قرينة اللدونة وفق الجدول التالي:

	•
سرعة الأعظمية لتطبيق الاجهاد	قرينة اللدونة
(أو التشوه ) الشاقولي	PI(%)
(mm/min)	
0.01	<10%
0.005	10-25
0.002	25-50
0.001	>50

الجدول 3-5: سرعة القص الأعظمية بدلالة قرينة اللدونة في تجربة الضغط ثلاثي المحاور المشددة المصرفة للترب المتماسكة

إن تصريف الماء في العينة مسموح أثناء التجربة بمرحلتيها ويتم قياس حجم الماء المطرود من العينة, وهي مساوٍ للتغير الحجمي للعينة, كما يتم قياس التشوهات الشاقولية والحمولة الشاقولية ومراقبة الضغط الجانبي في الحجرة, المطبق على العينة.



يمكن حساب التشوه الجانبي للعينة عن طريق التسجيل المستمر للتشوه الشاقولي  $\varepsilon_1 = \frac{\Delta Z}{H_0}$  ولحجم الماء المطرود من العينة والذي يساوي التغير الحجمي للعينة  $\Delta V$ . يحسب التشوه الجانبي كما يلي :

$$\varepsilon_{v} = \frac{\Delta V}{V_{0}}$$

$$\varepsilon_{\nu} = \varepsilon_1 + 2\varepsilon_3 \Rightarrow \varepsilon_3 = \frac{1}{2} (\varepsilon_{\nu} - \varepsilon_1)$$
 (5 – 32)

يبين الشكل 23-5 بعض النتائج النموذجية لهذه التجربة على عينة غضار في الحالتين المشددة طبيعياً ومسبقة التشديد. نلاحظ أن الترب الغضارية المشددة طبيعياً تخضع للهبوط أثناء تطبيق الاجهاد الديفياتوري. بينما أن الغضار مسبق التشديد يخضع في البداية لهبوط طفيف ثم يحصل فيه توسعاً حجمياً.

بإجراء عدد من التجارب على عينات متماثلة , يمكن رسم دوائر مور عند الانهيار لهذه التجارب (الشكل 24-5). يمكن الحصول على C' = 0 عن طريق رسم المماس لتلك الدوائر . في حالة الترب الغضارية المشددة طبيعياً  $C' \approx 0$ ), تعطى زاوية الاحتكاك الداخلي الفعالة بالعلاقة:

$$\sin \phi' = \frac{\sigma_1' - \sigma_3'}{\sigma_1' + \sigma_3'}$$

كما وجدنا سابقاً (الفقرة 5. 5), يعطى الاجهاد الرئيسي الأعظمي بالعلاقة:

$$\sigma'_1 = \sigma'_3 \frac{1 + \sin \phi'}{1 - \sin \phi'} = \sigma'_3 \tan^2 (45 + \frac{\phi'}{2})$$

في حالة الترب الغضارية مسبقة التشديد (C'>0), تعطى زاوية الاحتكاك الداخلي الحدية الفعالة:

$$\sin \phi'_{cs} = \left(\frac{\sigma'_1 - \sigma'_3}{\sigma'_1 + \sigma'_3}\right)_{cs}$$

وتكون زاوية الاحتكاك الداخلي الأعظمية الفعالة:

$$\sin \phi_p' = \frac{\frac{\sigma_1' - \sigma_3'}{2}}{\frac{C'}{Tan \phi} + \frac{\sigma_1' + \sigma_3'}{2}}$$

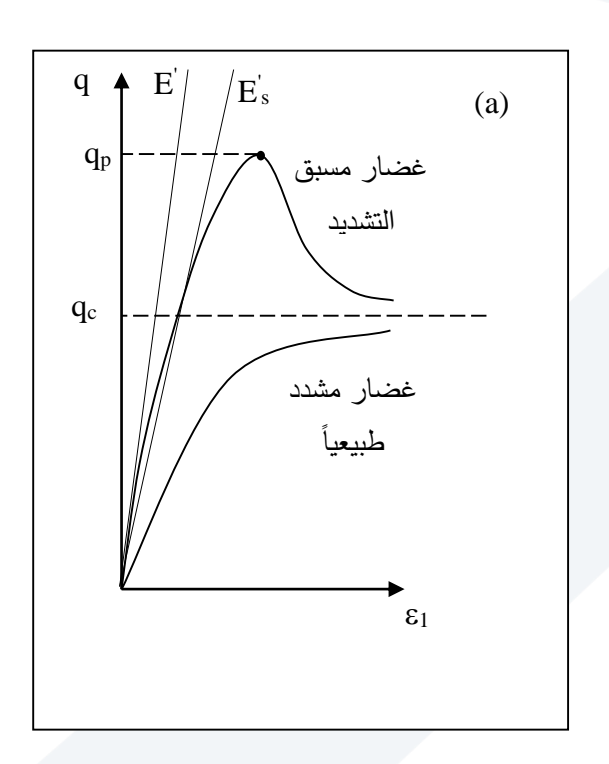
ويكون الاجهاد الرئيسي الأعظمي الفعال:

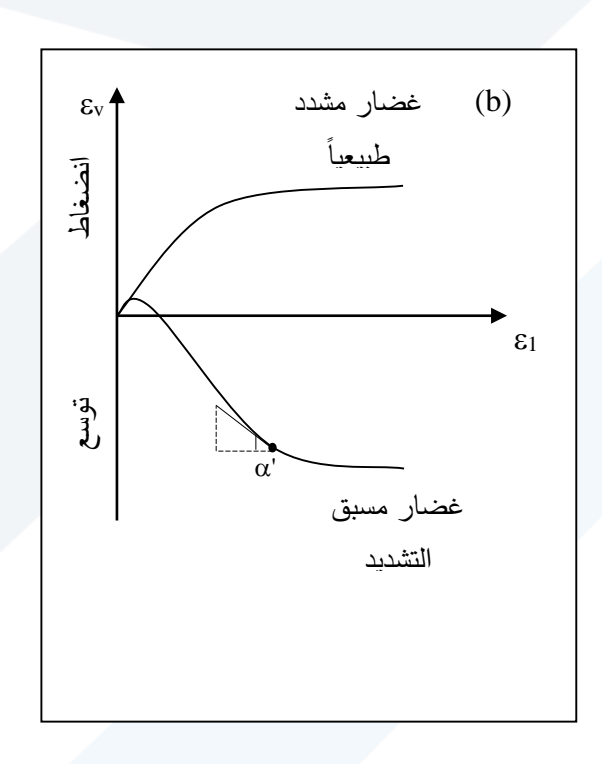
$$\sigma'_1 = \sigma'_3 Tan^2 (45 + \frac{\phi'_p}{2}) + 2C' Tan (45 + \frac{\phi'_p}{2})$$
 (5 – 33)

نشير إلى أن مستوي الانهيار يصنع زاوية  $2/\phi+4$  مع مستوي الاجهاد الرئيسي الأعظمي. يمكن تحديد معامل يونغ المماس E' ومعامل يونغ القاطع من منحني  $(\epsilon_1, q)$  (الشكل 23-5).



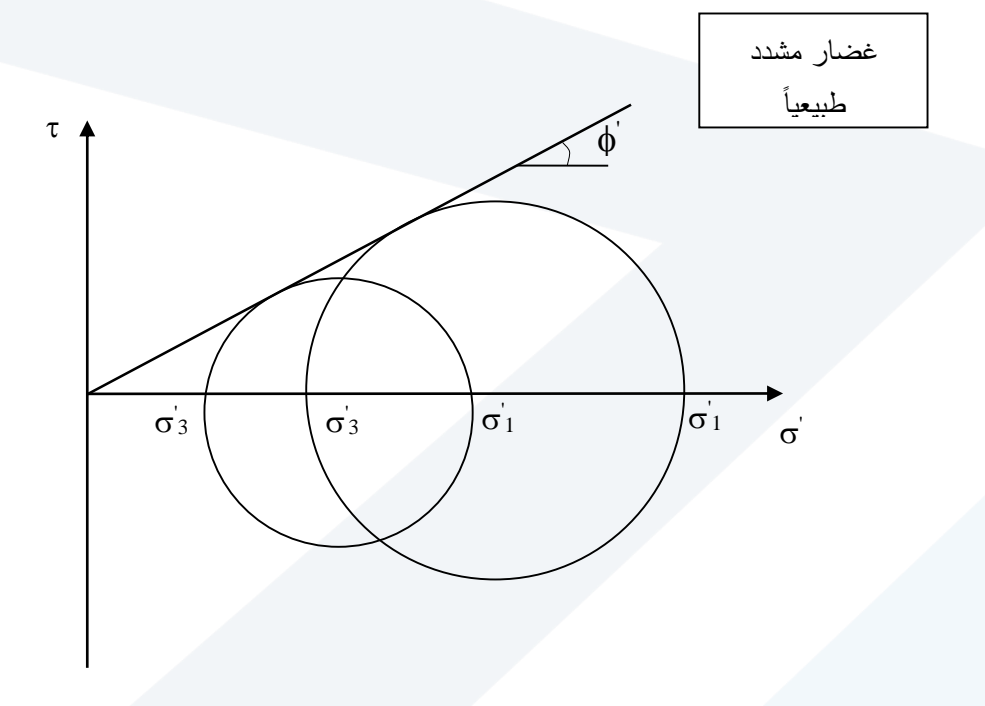
قد تحتاج تجربة الضغط ثلاثي المحاور المشدد والمصرف CD على العينة الواحدة لعدة أيام إذا كانت نفاذية التربة صغيرة, وتستخدم نتائجها من أجل دراسة توازن المنحدرات على المدى الطويل ومن أجل الأساسات والجدران الاستنادية والحفريات والأعمال الترابية الأخرى.

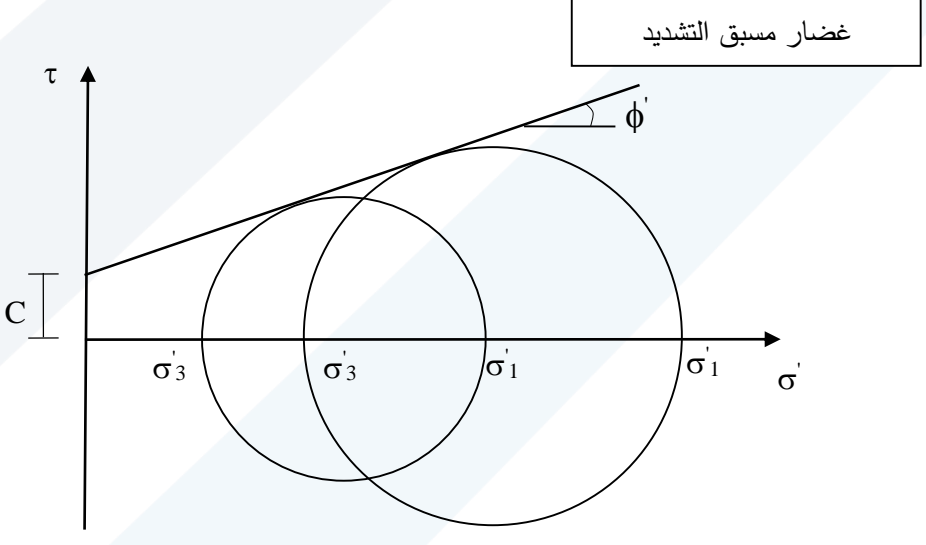




الشكل 23-5: تجربة الضغط المشددة المصرفة على عينة غضار في الحالتين المشددة طبيعياً ومسبقة التشديد.







الشكل 24-5: دوائر مور تجربة الضغط المشددة المصرفة على عينة غضار في الحالتين المشددة طبيعياً ومسبقة التشديد.

## تجربة الضغط المشددة وغير المصرفة CU

 $\phi_{cu}$   $C_{cu}$  وغير المصرفة  $\phi_p'$  و $\phi_c'$  ومعامل يونغ  $\phi_p'$  وغير المصرفة  $\phi_p'$  وغير المصرفة  $\phi_p'$  ومعامل يونغ  $\phi_p'$  والمعامل القاطع  $\phi_p'$ .

يتم إنجاز التجربة بطريقة مماثلة لتجربة CD باستثناء أنه بعد التشديد الهيدروستاتيكي يتم زيادة الاجهاد الناظمي الشاقولي (أو التشوه الشاقولي) تحت شروط غير مصرفة, ويتم أيضاً قياس تغير ضغط الماء المسامي.



يجب أن يكون معدل التشوهات الشاقولية المطبقة صغير وذلك من أجل السماح لزيادة ضغط الماء المسامي بالاستقرار قبل القيام بقياسها، وتكون عادة سرعة تطبيق الاجهاد (أو التشوه) الشاقولي أكبر بعشرة أضعاف السرعة المستخدمة في تجربة الضغط ثلاثي المحاور المشددة المصرفة.

يمكن حساب التشوه الجانبي للعينة عن طريق التسجيل المستمر للتشوه الشاقولي ,  $\varepsilon_{\rm l}=\frac{\Delta Z}{H_0}$  , وبما أنه في تجربة CU يبقى حجم العينة ثابتاً أثناء مرحلة القص فإن :

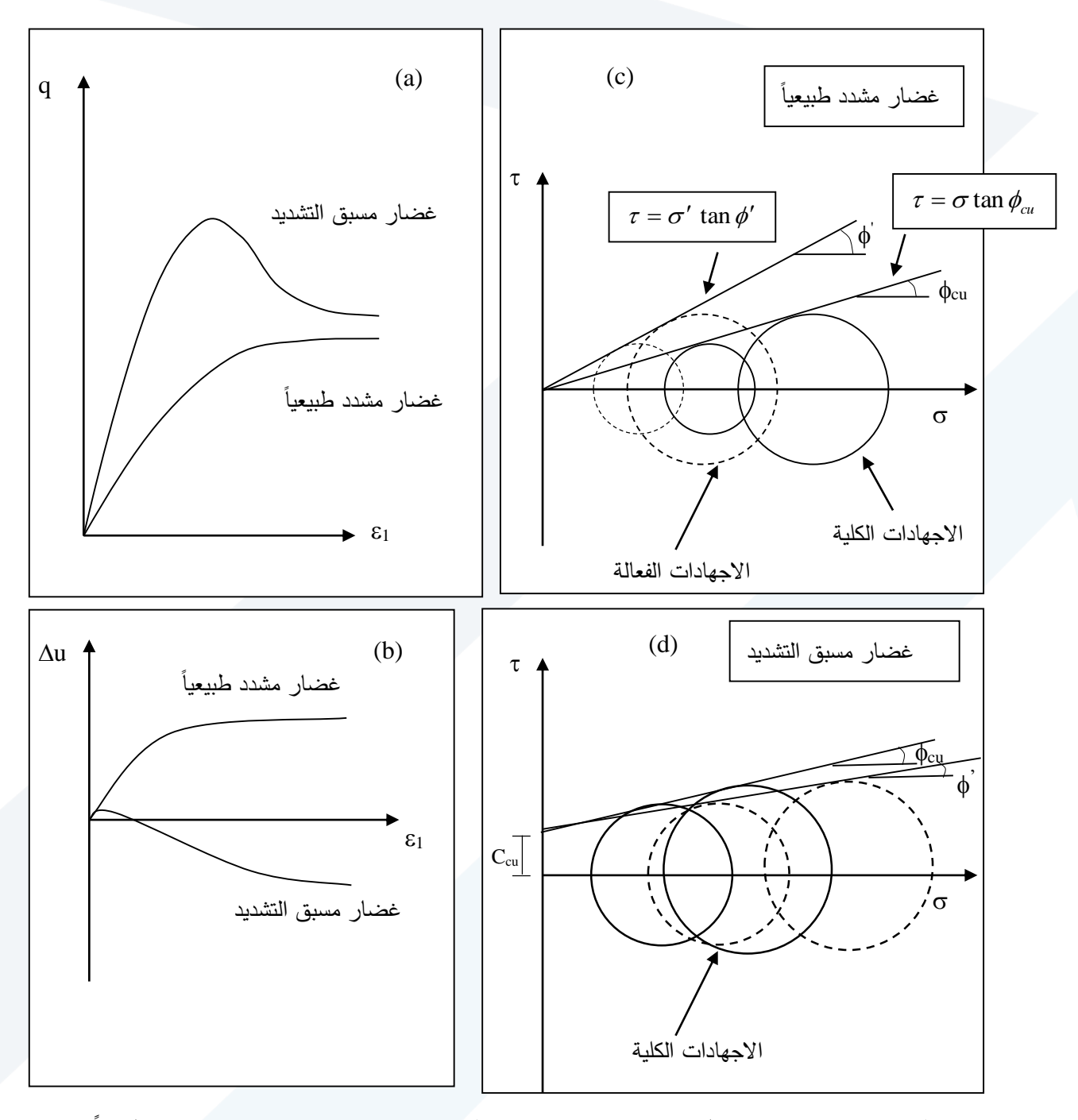
$$\varepsilon_{v} = \frac{\Delta V}{V_{0}} = \varepsilon_{1} + 2\varepsilon_{3} = 0 \Rightarrow \varepsilon_{3} = -\frac{1}{2}\varepsilon_{1}$$
 (5 – 34)

يمكن تحديد معامل يونغ المماس  $E_{us}$  ومعامل يونغ القاطع  $E_{us}$  منحني q بدلالة  $e_{tot}$  بيين الشكل 25-5 بعض النتائج النموذجية لهذه التجربة على عينة غضار في الحالتين المشددة طبيعياً والمسبقة التشديد. يمكن رسم مجموعتين من دوائر مور ؛ الأولى تمثل حالة الاجهادات الكلية والثانية حالة الاجهادات الفعالة. من أجل كل تجربة, دائرة مور لها نفس الأبعاد لحالتي الاجهادات الفعالة والكلية ولكنهما منزلقتين عن بعضهما أفقياً بقيمة تغير ضغط الماء المسامي, تكون دائرة مور للاجهادات الفعالة منزلقة نحو اليسار إذا كان تغير الضغط المسامي موجباً (غضار مشدد طبيعياً) ومنزلقة نحو اليمين إذا كان تغير ضغط الماء المسامي سالباً (غضار مسبق التشديد).

تعتبر تجربة الضغط المشدد وغير المصرف أكثر التجارب ثلاثية المحاور شهرة وذلك لأنها تمكننا من تحديد بارامترات القص المصرفة وغير المصرفة, كما أن أغلب التجارب يمكن أن تتم خلال عدة دقائق بعد مرحلة التشديد. ننوه إلى أن تجربة القص المشددة والمصرفة يجب أن تجرى في الترب الناعمة ببطء أكبر من حالة الترب الخشنة.

تستخدم نتائج هذه التجربة من أجل دراسة توازن المنحدرات ومن أجل الأساسات والجدران الاستنادية والحفريات والأعمال الترابية الأخرى.





الشكل 25-5: تجربة الضغط المشددة وغير المصرفة على عينة غضار في الحالتين المشددة طبيعياً والمسبقة التشديد

## تجربة الضغط غير المشددة وغير المصرفة UU

الغاية من هذه التجربة هو تحديد مقاومة القص غير المصرفة للترب المشبعة  $S_u$  ومعامل يونغ والمعامل القاطع  $(E_u)_s$ .



تتلخص التجربة بإشباع العينة ثم تطبيق اجهاد جانبي على عينة التربة بواسطة ماء الخلية دون تصريف ماء المسامات , ثم تطبيق اجهاد (أو تشوه) شاقولي متزايد بسرعة, مع الاستمرار بمنع ماء المسامات من التصريف, حتى الانهيار.

بالنسبة للتشوهات فهي كما في المرحلة الثالثة من تجربة CU , CU

$$\varepsilon_{v} = \frac{\Delta V}{V_{0}} = \varepsilon_{1} + 2\varepsilon_{3} = 0 \Rightarrow \varepsilon_{3} = -\frac{1}{2}\varepsilon_{1}$$
 (5 – 35)

يتم في هذه التجربة تطبيق الاجهاد (أو التشوه) الشاقولي بسرعة كبيرة نسبياً نظراً لأنه لا يتم خلال التجربة تسجيل ضغط الماء المسامي، وتستخدم عادة نفس السرعة المستخدمة في تجربة الضغط الحر.

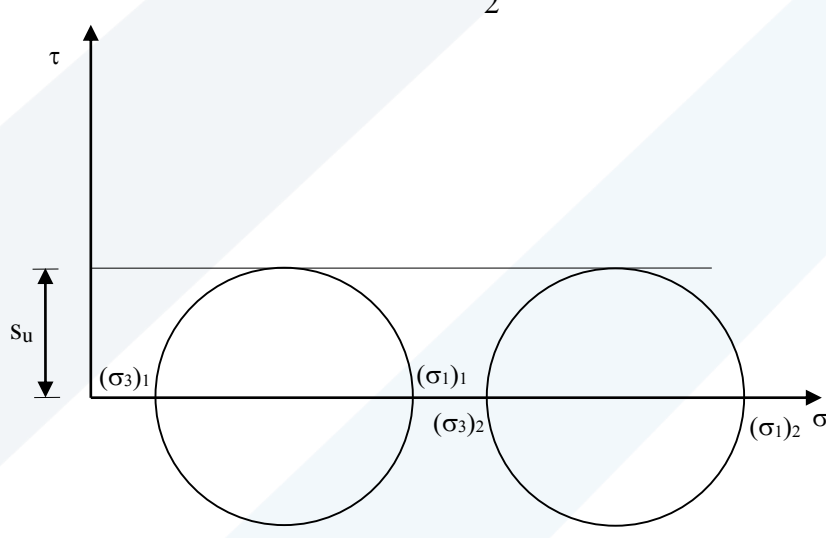
يتم عادة إجراء تجربتين أو أكثر لنفس التربة من أجل نفس عامل المسامية ومن أجل ضعوط جانبية مختلفة. جميع دوائر مور لها نفس القياس ولكنها منزلقة عن بعضها بمقدار الفرق في الضغط الجانبي.

يبين الشكل 26-5 دوائر مور لتجربة الضغط غير المشددة وغيرالمصرفة.

من الناحية العملية, تكون الاجهادات القاصـة في الترب المشـبعة في هذه التجربة مسـتقلاً عن الاجهاد الجانبي σ3 , أي أنه يمكن فرض مغلف كولومب للانهيار أفقياً.

يمكن كتابة مقاومة القص غير المصرفة بالشكل:

$$\tau = S_u = \frac{\left(\sigma_1 - \sigma_3\right)_f}{2} \tag{5-36}$$



الشكل 26-5: دوائر مور لتجربة الضغط ثلاثي المحاور غير المشددة وغيرالمصرفة



#### مسألة 1

تم إجراء تجربة قص مباشر على عينة تربة رملية حيث خضعت العينة لإجهاد ناظمي  $\sigma_n = 200 \text{ kN/m}^2$  ولقوة أفقية متزايدة حتى الانهيار، حيث بلغت القيمة العظمى لهذه القوة 550 نيوتن والقيمة الحدية 450 kN

إذا علمت أن العينة مربعة المقطع أبعادها 6cm\*6cm يطلب ما يلي :

1- رسم مغلف كولومب للحالتين العظمي والحدية

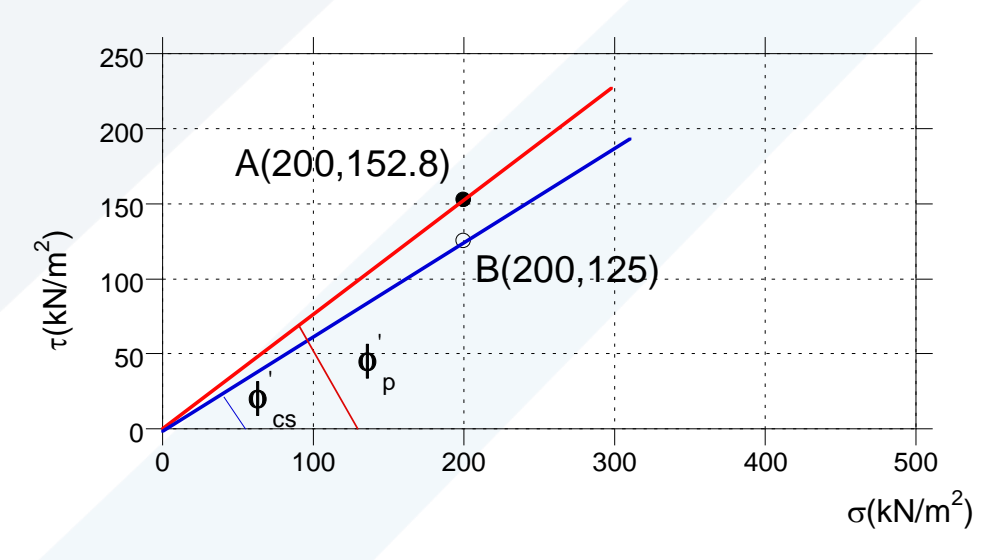
2-حساب عوامل القص العظمى والحدية وزاوية التوسع الحجمي

#### الحل

- نحسب الاجهادات القاصة

$$\tau_{p} = \frac{0.55}{0.06*0.06} = 152.8 \, kN / m^{2}$$
$$\tau_{ult} = \frac{0.45}{0.06*0.06} = 125 \, kN / m^{2}$$

- نمثل النقطتين (A (200, 125) و (200, 125) في جملة الاحداثيات (النقطتين A و B بالترتيب)
  - نصل بين مبدأ الاحداثيات والنقطة A فنحصل على مغلف كولومب للحالة العظمي
    - نصل بين مبدأ الاحداثيات والنقطة B فنحصل على مغلف كولومب للحالة الحدية
  - · نقيس ميل مغلف كولومب للحالة العظمي فنحصل على زاوية الاحتكاك العظمي ٥٠ و-7و وثي وي الاحتكاك العظمي ٥٠ وورد العظمي م
    - $\phi^{\prime}_{cs}=32^{o}$  نقيس ميل مغلف كولومب للحالة الحدية فنحصل على زاوية الاحتكاك الحدية
      - $\alpha^{\prime}{}_p\!\!=\!\!\varphi^{\prime}{}_p\!\!-\!\!\varphi^{\prime}{}_{cs}\!\!=\!\!37.4\text{-}32\!\!=\!\!5.4^o$  زاوية النوسع الحجمي



### مسألة 2

تم إجراء تجربة الضغط البسيط (الضغط الحر) على عينة تربة غضارية مشبعة أبعادها (القطر= 8 سم والارتفاع = 10 سم) فكانت النتائج كالتالي:



ΔH(mm)	Pz(kN)	<b>€</b> e	$A(m^2)$	σz(kN/m²)
0	0			
0.88	0.18			
1.7	0.34			
2.53	0.5			
3.95	0.66			
5.7	0.76			
8.63	0.83			

1- أكمل الجدول السابق (مع ذكر القوانين المستخدمة وتفاصيل الحل للانتقال الشاقولي  $\Delta H$ =2.53mm بعد الفاصلة لـ  $\sigma_z$  و 4 أرقام لـ A و  $\sigma_z$  ).

2- حدد عوامل القص تخطيطياً

الحل

$$\sigma_z = \sigma_1 = \frac{P_z}{A} \qquad A = \frac{A_0}{1 - \varepsilon_1} \qquad \varepsilon_1 = \frac{\Delta H}{H_0}$$

$$A_0 = \frac{\pi (0.08)^2}{4} = 0.005 m^2$$

من أجل ΔH=2.53 mm , يكون:

$$\varepsilon_1 = \frac{2.53}{100} = 0.0253$$

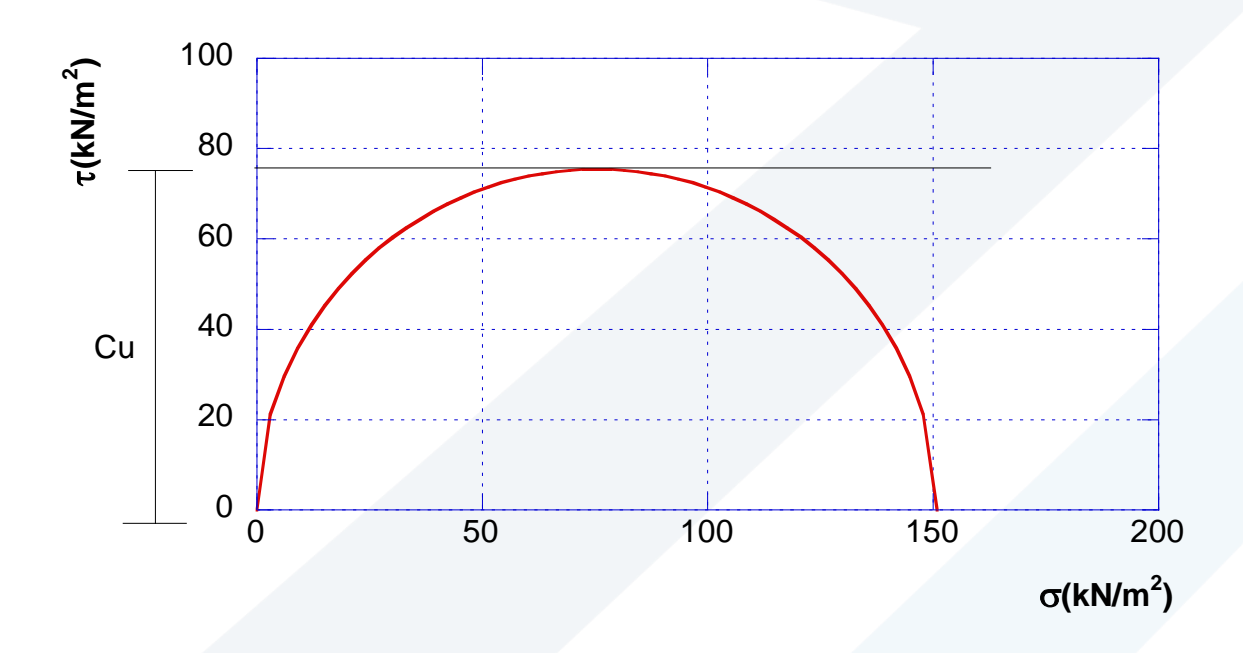
$$A = \frac{A_0}{1 - \varepsilon_1} = \frac{0.005}{1 - 0.0253} = 0.0051m^2$$

$$\sigma_1 = \frac{0.5}{0.0051} = 98kN/m^2$$

ΔH(mm)	P <sub>z</sub> (kN)	εe	<b>A</b> ( <b>m</b> <sup>2</sup> )	$\sigma_z(kN/m^2)$
0	0	0.0000	0.0050	0.0
0.88	0.18	0.0088	0.0050	36.0
1.7	0.34	0.0170	0.0051	66.7
2.53	0.5	0.0253	0.0051	98.0



3.95	0.66	0.0395	0.0052	126.9
5.7	0.76	0.0570	0.0053	143.4
8.63	0.83	0.0863	0.0055	150.9



$$C_u = \frac{150.9}{2} = 75.5 \ kN / m^2$$

### مسألة 3

تم إجراء تجربتي قص ثلاثي المحاور CDعلى عينة تربة وقد كانت نتائج التجربتين عند الانهيار كما هو مبين بالجدول. يطلب مايلي:

- 1- حساب عوامل القص للتربة /من الرسم/ مع الشرح المختصر وتوضيح كافة الحسابات اللازمة للرسم
  - 2- تحديد مستوي الانهيار وحساب الاجهادات الناظمية والمماسية عليه (للتجربتين)
- $300 \mathrm{kN/m^2}$  عند تطبيق اجهاد الرئيسي الأعظمي الذي يمكن أن تتحمله عينة التربة عند تطبيق اجهاد جانبي مقداره  $300 \mathrm{kN/m^2}$

σ'1-σ'3 (kN/m <sup>2</sup> )	σ'3(kN/m²)	التجربة
230	100	1
310	200	2

<u>الحل</u>



#### <u>الطلب الأول</u>

1- نحسب الاجهاد الرئيسي الأعظمي  $\sigma'_1$  ومركز الدائرة  $\sigma$  ونصف قطر ها R لكل من التجربتين

$$(\sigma_1 - \sigma_3)_1 = 230 \, kN / m^2 \Rightarrow (\sigma_1)_1 = (\sigma_1')_1 = 230 + 100 = 330 \, kN / m^2$$
$$(\sigma_1 - \sigma_3)_2 = 310 \, kN / m^2 \Rightarrow (\sigma_1)_2 = (\sigma_1')_2 = 310 + 200 = 510 \, kN / m^2$$

$$o = \frac{\sigma_1 + \sigma_3}{2} \qquad R = \frac{\sigma_1 - \sigma_3}{2}$$

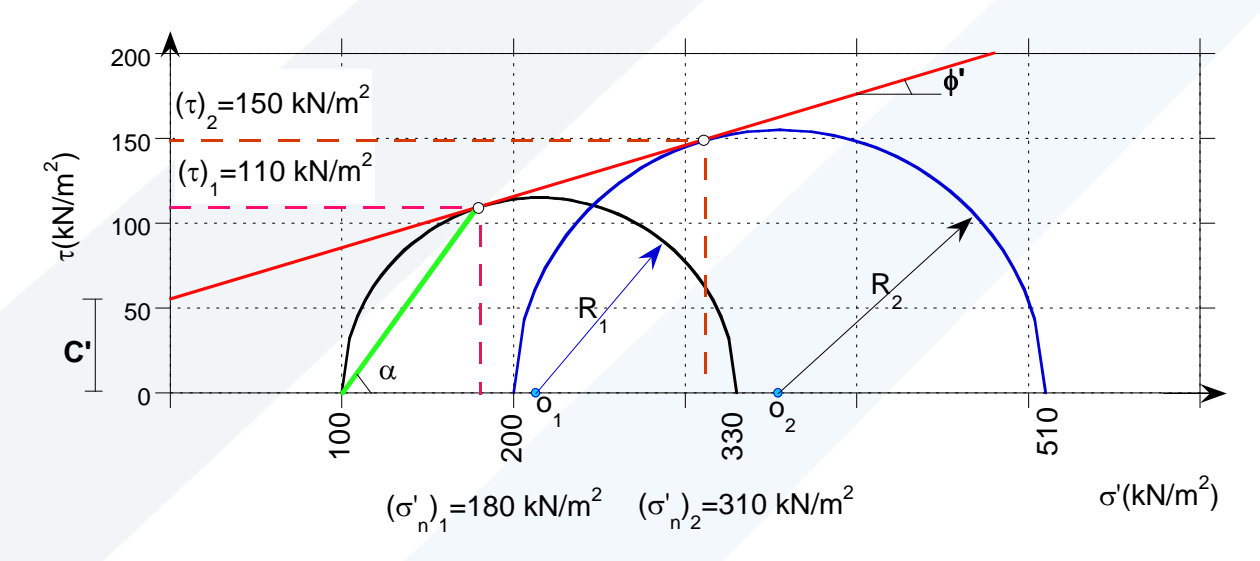
$$330 + 100 \qquad 330 - 100$$

$$o_1 = \frac{330 + 100}{2} = 215kN/m^2$$
  $R_1 = \frac{330 - 100}{2} = 115kN/m^2$ 

$$o_2 = \frac{510 + 200}{2} = 355kN/m^2$$
  $R_2 = \frac{510 - 200}{2} = 155kN/m^2$ 

 $ho_1=215~kN/m^2$  ونصف قطر ها  $ho_1=215~kN/m^2$  ومركز الثانية  $ho_1=215~kN/m^2$  ومركز الثانية  $ho_2=355~kN/m^2$  ونصف قطر ها  $ho_2=355~kN/m^2$ 

 $\phi$  ' ويقطع محور الاجهادات المماسية بنقطة ترتيبها  $\phi$  ' التماسك  $\phi$  ' التماسك  $\phi$  ' المماسية بنقطة ترتيبها  $\phi$  '  $\phi$  '



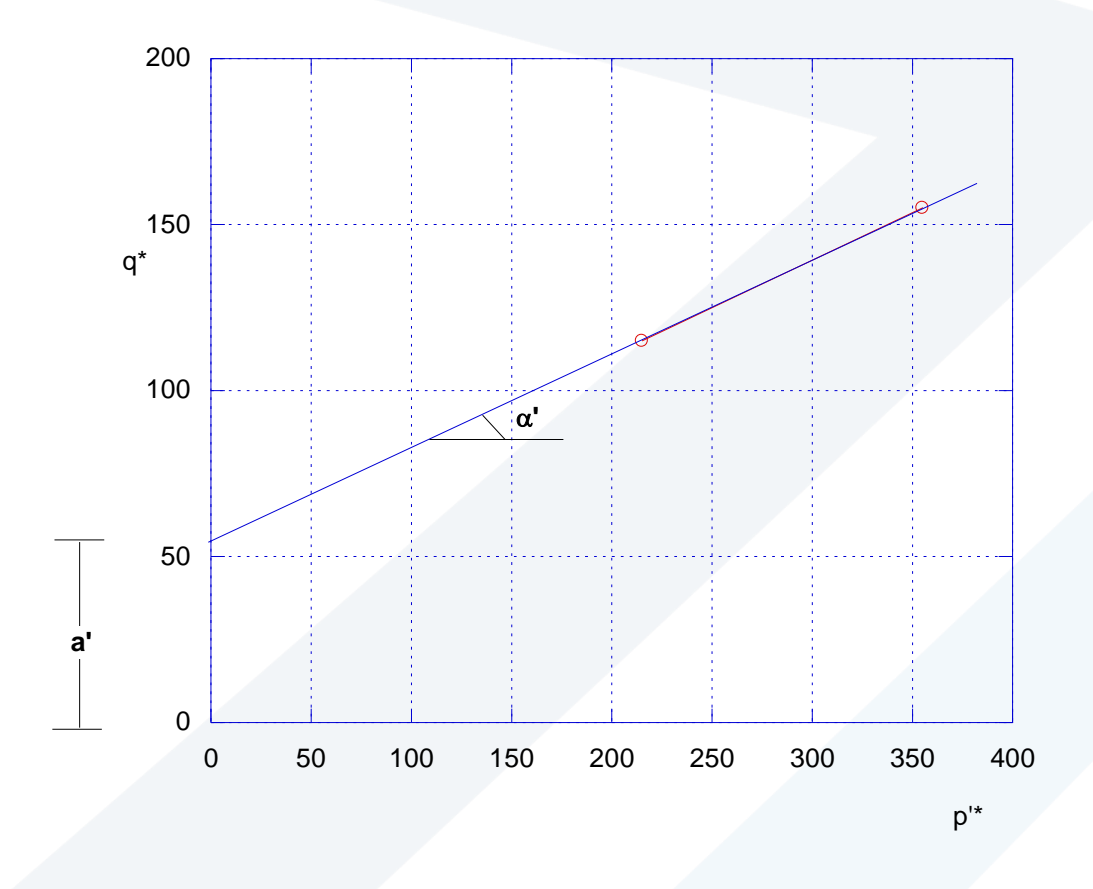
$$C' = 55 \, kN / m^2$$
$$\phi' \approx 17^{\circ}$$

طريقة ثانية للحل في المستوي (\*p'\*, q)

q* kN/m²	p'* kN/m²	σ'1 (kN/m²)	$\sigma'_1$ - $\sigma'_3$ $(kN/m^2)$	σ'3 (kN/m²)	التجربة
115	215	330	230	100	1



155	355	510	310	200	2
100		510	210	200	_



$$\tan \alpha' = \frac{155 - 115}{355 - 215} = 0.286$$

$$\phi' = \arcsin(0.286) = 16.6^{\circ}$$

$$155 - a' = 355 * 0.286 \Rightarrow a' = 53.5 \ kN / m^{2}$$

$$C' = \frac{a'}{\cos \phi'} = \frac{53.5}{\cos 16.6} = 55.8 \ kN / m^{2}$$

الطلب الثاني

$$\alpha = 45 + \frac{\phi'}{2} = 45 + \frac{17}{2} = 53.5^{\circ}$$

$$\sigma'_n = \frac{\sigma'_1 + \sigma'_3}{2} + \frac{\sigma'_1 - \sigma'_3}{2} \cos 2\alpha$$

$$\tau = \frac{\sigma_1 - \sigma_3}{2} \sin 2\alpha$$



$$(\sigma'_n)_1 = \frac{330 + 100}{2} + \frac{330 - 100}{2} \cos 107 = 181 kN/m^2$$

$$(\tau)_1 = \frac{330 - 100}{2} \sin 107 = 110 kN/m^2$$

$$(\sigma'_n)_2 = \frac{510 + 200}{2} + \frac{510 - 200}{2} \cos 107 = 310 kN/m^2$$

$$(\tau)_2 = \frac{510 - 200}{2} \sin 107 = 148 kN/m^2$$

الطلب الثالث

$$\sigma_1' = \sigma_3' \tan^2 \alpha + 2C' \tan \alpha'$$
  
 $\sigma_1' = 300 \tan^2 (53.5) + 2*55 \tan(53.5) = 697 \, kN / m^2$ 

#### مسألة 4

تم إجراء ثلاث تجارب قص ثلاثي المحاور CU على عينة تربة غضارية مشبعة وقد كانت النتائج كالتالي:

P* (kN/m2)	q* (kN/m²)	P'* (kN/m²)	σ'3 (kN/m²)	σ'1 (kN/m²)	<b>σ</b> <sub>1</sub> (kN/m²)	σ1-σ3 (kN/m²)	تغير الضغط المسامي عند الانهيار kN/m <sup>2</sup>	عند الانهيار (N)	الانتقال الشاقولي عند الانهيار (mm)	الاجهاد الجانبي (kN/m²)	التجربة
							40	371	10	100	1
							95	580	12	200	2
							135	832	15	300	3

إذا علمت أن أبعاد العينات المختبرة هي 50mm\*100mm فيطلب مايلي :

- 1. أكمل الجدول السابق لكامل العينات باستخدام دقة رقمين مع التقريب, واذكر القوانين وتفاصيل العمليات الحسابية للتجربة رقم 2 فقط
  - \_\_\_\_
  - احسب عوامل القص المصرفة والكلية للتربة /تخطيطياً حصراً/.
- 3. حساب الاجهادات الناظمية والمماسية الفعالة عند الانهيار، على مستوي يميل بزاوية 45 درجة عن مستوي الاجهاد الرئيسي الأعظمي تحليلياً وذلك للتجربة 1.

الحل

$$A_0 = \frac{\pi D_0^2}{4} = \frac{\pi * 50^2}{4} = 1963.5 \quad mm^2$$



test	σ <sub>3</sub> kN/m <sup>2</sup>	الانتقال الشاقولي عند الانهيار ΔH(mm)	القوة الشاقولية عند الانهيار Pz(N)	الضغط المسامي عند الانهيار kN/m <sup>2</sup>	A (mm²)	الدفياتور q (kN/m²)	σ <sub>1</sub> (kN/m <sup>2</sup> )	σ'1 (kN/m²)	σ'3 (kN/m²)	P'* (kN/m²)	q* (kN/m²)	P* (kN/m2)
1	100	10	371	40	2181.66	170.05	270.05	230.05	60.00	145.03	85.03	185.03
2	200	12	580	95	52231.2	259.95	459.95	364.95	105.00	234.98	129.98	329.98
3	300	15	832	135	2309.99	360.17	660.17	525.17	165.00	345.09	180.09	480.09

## من أجل التجربة 2

$$\varepsilon_{z} = \frac{\Delta H}{H_{0}} \qquad A = \frac{A_{0}}{1 - \varepsilon_{1}} \qquad q = \sigma_{1} - \sigma_{3} = \frac{P_{z}}{A}$$

$$\varepsilon_{z} = \frac{12}{100} = 0.12$$

$$A = \frac{1963.5}{1 - 0.12} = 2231.25 \, mm^{2}$$

$$\sigma_{1} - \sigma_{3} = \frac{580 * 1000}{2231.25} = 259.95 \, kN/m^{2}$$

$$\sigma_{1} = 259.95 + 200 = 459.95 \, kN/m^{2}$$

$$\sigma'_{1} = 459.95 - 95 = 364.95 \, kN/m^{2}$$

$$\sigma'_{3} = 200 - 95 = 105 \, kN/m^{2}$$

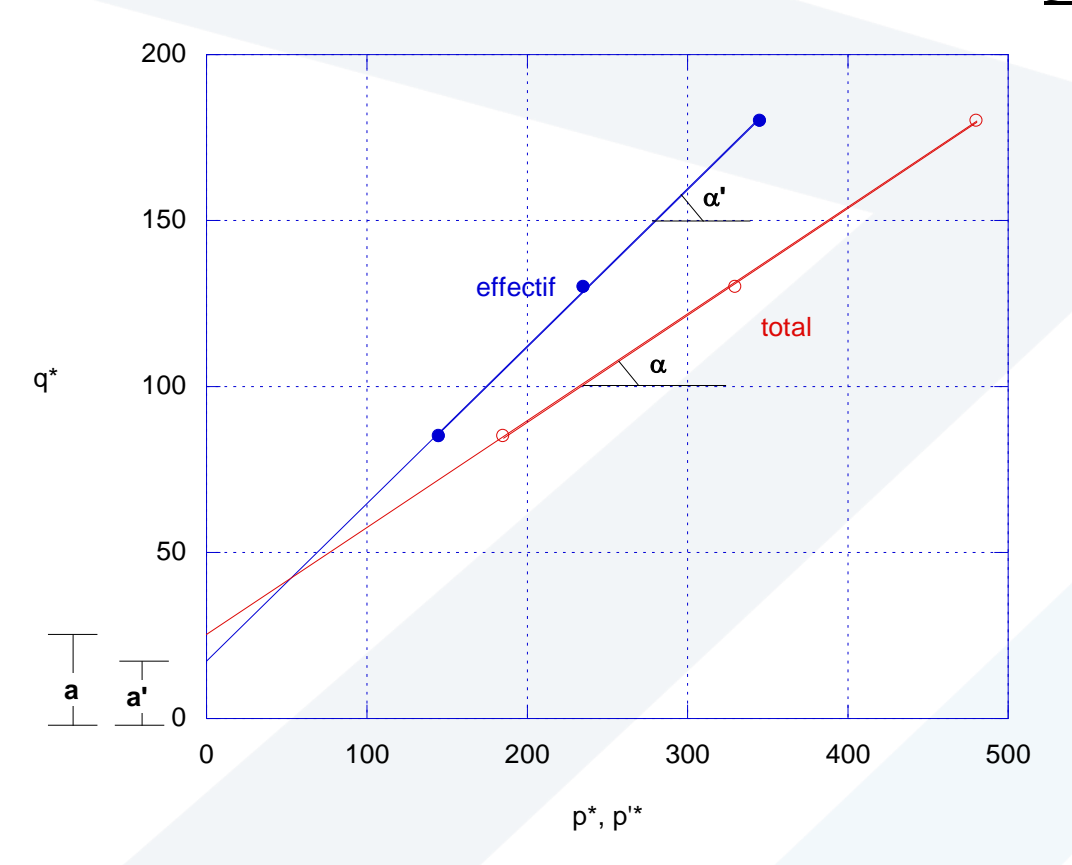
$$p^{*} = \frac{1}{2} (459.95 + 200) = 329.98 \, kN/m^{2}$$

$$q^{*} = \frac{1}{2} (459.95 - 200) = 129.98 \, kN/m^{2}$$

$$p'^{*} = \frac{1}{2} (364.95 + 105) = 234.98 \, kN/m^{2}$$



#### لطلب الثاني



$$\sin \phi' = Tan \ \alpha' = 0.474 \Rightarrow \phi' = 28.3^{\circ}$$

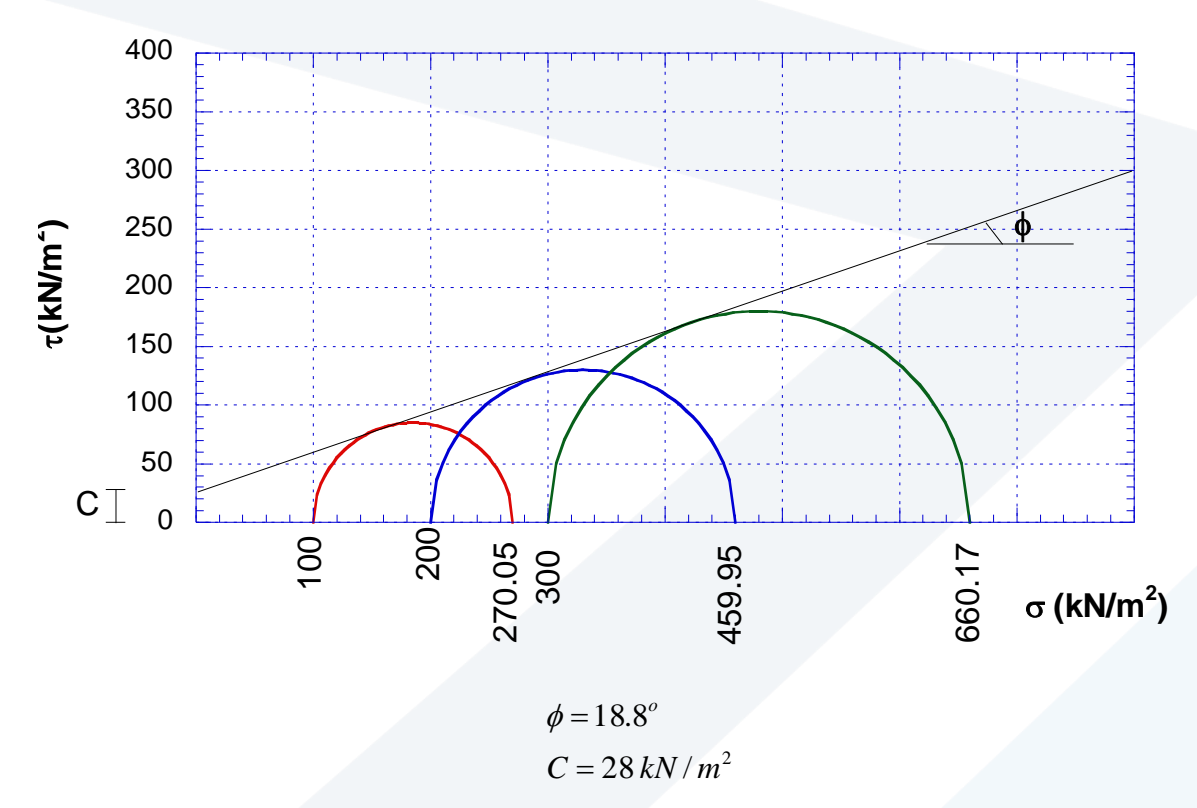
$$C' = \frac{a'}{\cos \phi'} = \frac{17}{\cos 28.3} = 19.3 \ kN/m^{2}$$

$$\sin \phi = Tan \ \alpha = 0.322 \Rightarrow \phi = 18.8^{\circ}$$

$$C = \frac{a}{\cos \phi} = \frac{24.8}{\cos 18.8} = 26.2 \ kN/m^{2}$$

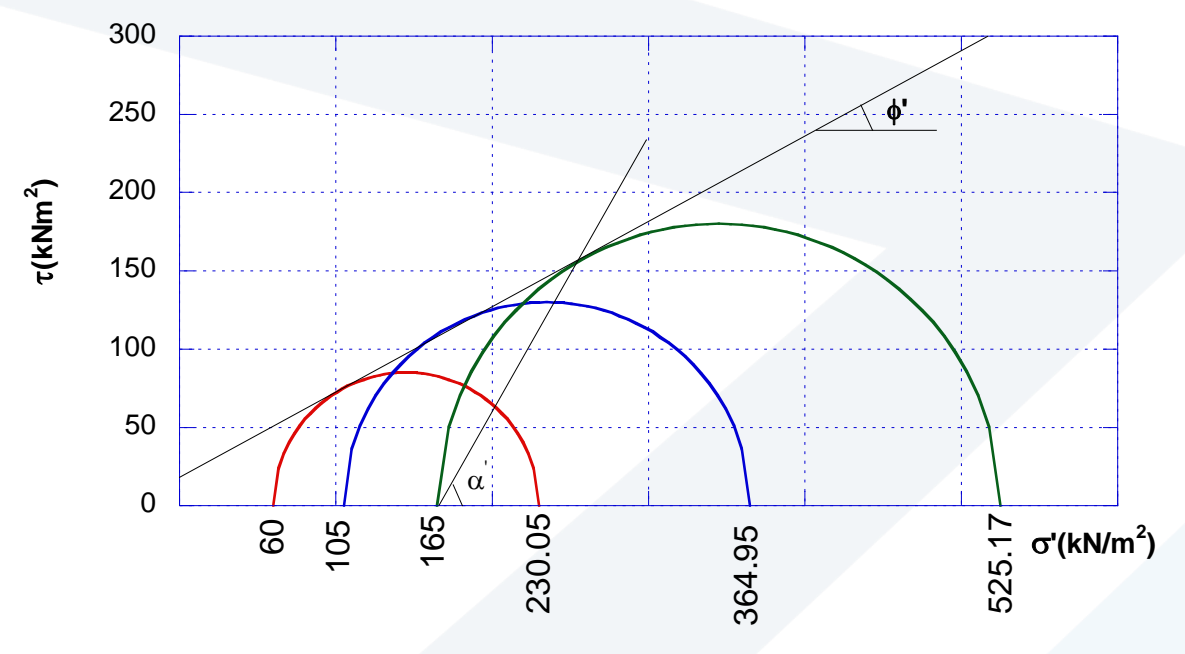
## **طريقة ثانية لحل الطلب الثاني** 1-باد لمتد ات القص الكلية





2-بار امترات القص الفعالة





$$\phi' = 28.8^{\circ}$$

$$C' = 18 \, kN / m^2$$

$$\alpha' = 45 + \frac{\phi'}{2} = 59.4^{\circ}$$

### الطلب الثالث

# الاجهادات الناظمية والمماسية الفعالة على مستوي الانهيار للتجربة 1

$$\alpha' = 59.4^{\circ}$$
,  $\sigma'_{1} = 230.05 \, kN/m^{2}$   $\sigma'_{3} = 60 \, kN/m^{2}$ 

$$\sigma' = \frac{230.05 + 60}{2} + \frac{230.05 - 100}{2} \cos(2*59.4) = 113.7 \, kN/m^{2}$$

$$\tau' = \tau = \frac{230.05 - 60}{2} \sin(2*59.4) = 74.5 \, kN/m^{2}$$

# الاجهادات الناظمية والمماسية الفعالة على مستوي يميل بزاوية 45 درجة للتجربة 1

$$\alpha' = 45^{\circ}, \quad \sigma_{1}' = 230.05 \, kN/m^{2} \qquad \sigma_{3}' = 60 \, kN/m^{2}$$

$$\sigma' = \frac{230.05 + 60}{2} + \frac{230.05 - 100}{2} \cos(2*45) = 145.025 \, kN/m^{2} = \sigma - u$$

$$\tau' = \tau = \frac{230.05 - 60}{2} \sin(2*45) = 85.025 \, kN/m^{2}$$



#### مسألة 5

أجريت تجربة الضغط ثلاثي المحاور UU على عينة غضار مشبع أبعادها 50mm x 100 mm. إذا علمت أن الضغط الجانبي 100 kN/m² وأنه قد تم تطبيق انتقال شاقولي متزايد بواسطة محور التحميل, وتم تسجيل القوة الشاقولية فكانت النتائج كما هو مبين في الجدول التالي.

يطلب مايلي:

1-حساب المقادير المبينة في الجدول ووضعها بنفس الترتيب

 $\Delta H$ =0.71mm الشاقولي اللازمة للحساب وذكر تفاصيل الحسابات الخاصة بالانتقال الشاقولي

3- رسم دائرة مور للاجهادات

4-حساب تماسك التربة

ڔ	الانتقال الشاقولي H(mm)	القوة الشاقولية (N)	$\epsilon_1$	A (m <sup>2</sup> )	σ1–σ3 kN/m²	$\sigma_1 \\ kN/m^2$
	0.13	0				
	0.27	27.5				
	0.71	58				
	1.33	155				
	2.29	267				
	4.18	391				

<u>الحل</u>

$$\varepsilon_1 = \frac{\Delta H}{H_0}$$

$$q = \frac{P_z}{A} = \frac{P_z (1 - \varepsilon_1)}{A_0}$$

$$A_0 = \frac{\pi D_0^2}{4}$$

$$\sigma_1 = q + \sigma_3$$

تفاصيل الحسابات الخاصة بالانتقال الشاقولي ΔH=0.71mm

$$\varepsilon_{1} = \frac{0.71}{100} = 0.0071$$

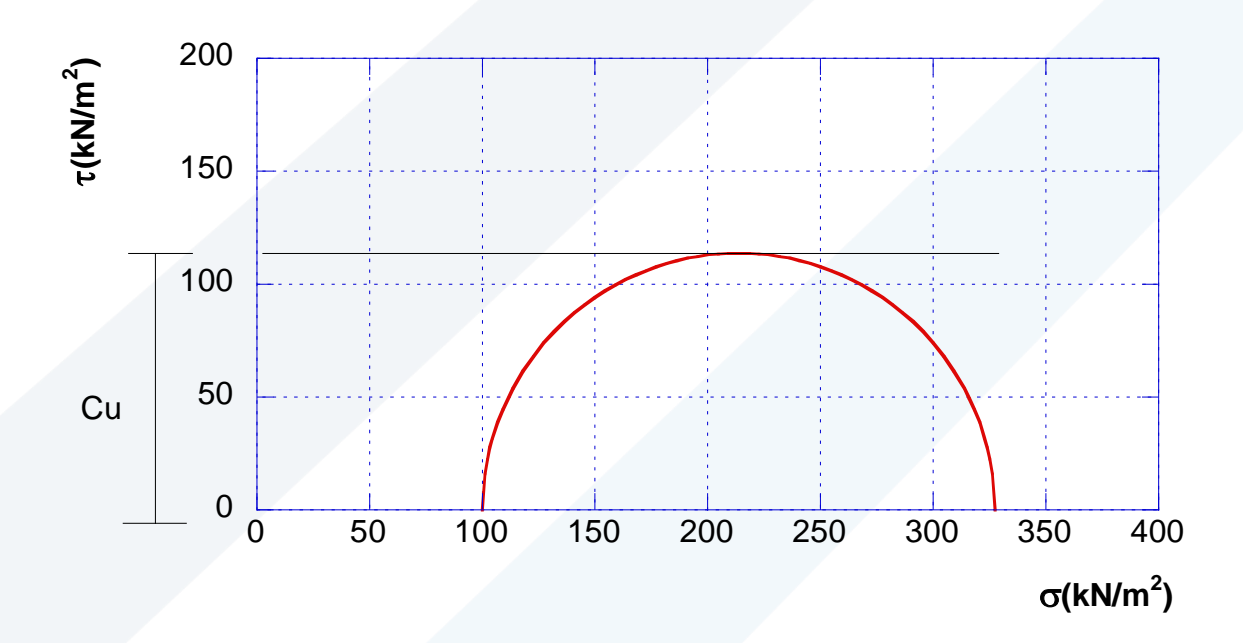
$$A_{0} = \frac{\pi * (0.05)^{2}}{4} = 0.00196$$

$$q = \sigma_{s} - \sigma_{3} = \frac{155 * 10^{-3} * (1 - 0.0071)}{0.00196} = 78.4 \text{ kN/m}^{2}$$

$$\sigma_{s} = q + \sigma_{3} = 78.4 + 100 = 178.4 \text{ kN/m}^{2}$$



ΔH(mm)	ΔH(mm) ε <sub>1</sub>		A m <sup>2</sup>	σ1–σ3	σ <sub>1</sub> (kPa)	
0.00	0.0000	0	0.001963	0	100	
0.13	0.0013	27.5	0.001966	14	114	
0.27	0.0027	58	0.001968	29.5	129.5	
0.71	0.0071	155	0.001977	78.4	178.4	
1.33	0.0133	267	0.001989	134.2	234.2	
2.29	0.0229	391	0.002009	194.6	294.6	
4.18	0.0418	466	0.002049	227.5	327.5	



$$C_u = \frac{227.5}{2} = 113.8 kN / m^2$$